



D1-12624  
106)  
APR- 7399



**CIVESTAV-IPN**  
Escuela de Ingeniería Eléctrica



78000008724

**CENTRO DE INVESTIGACION Y DE  
ESTUDIOS AVANZADOS DEL  
I. P. N.  
BIBLIOTECA  
INGENIERIA ELECTRICA**

9030

# Centro de Investigación y Estudios Avanzados.

## Departamento de Ingeniería Eléctrica.

CENTRO DE INVESTIGACION Y DE  
ESTUDIOS AVANZADOS DEL  
I. P. N.  
BIBLIOTECA  
INGENIERIA ELECTRICA

### Sección de Computación

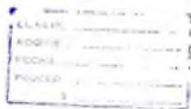
Una solución al problema de la correspondencia en un  
par estéreo utilizando descriptores de curvas.

Tesis que presenta Joaquín SALAS<sup>1</sup> para obtener el grado de  
Maestro en Ciencias en la especialidad de Ingeniería  
Eléctrica. Trabajo dirigido por el Dr. Sergio CHAPA.

México. D.F., Agosto 1991.

---

<sup>1</sup>Becario de CONACYT.



X M

91.15

ELABO

ACQUI

FECHA

PROCC

01-18624

29-II-92

000

## AGRADECIMIENTOS:

Este trabajo es fruto de un acuerdo de colaboración científica entre las escuelas **E.N.S.T. de Bretagne** en Francia y **CINVESTAV del I.P.N.** en México.

**Francia.** Quiero agradecer a los profesores **M. Allan HILLION**, Jefe del Departamento de Matemáticas y Sistemas de Comunicación, y **M. Jean-Marc BOUCHER**, responsable de mi estancia, por haberme recibido tan amablemente en su departamento. Así también, a los profesores **M. Christian ROUX**, Jefe del Grupo de Tratamiento de Imágenes, y **M. Guy CAZUGEL**, quienes siempre tuvieron una palabra de apoyo para este proyecto. Igualmente, a **M. Jean-José JACQ** y **M. Jean-Paul LAURENT**, sin cuyo equipo y conocimientos técnicos, el proyecto no hubiera progresado como lo hizo. Finalmente, quiero agradecer los alumnos y personal de la **E.N.S.T. de Bretagne**, cuya amistad a lo largo de estos meses ha sido una de las experiencias más enriquecedoras que he tenido.

**México.** Esta estancia y en general mis estudios de Maestría han sido fuertemente apoyados en **CINVESTAV**. Quiero agradecer al profesor **Dr. David MUÑOZ**, Jefe del Departamento de Ingeniería Eléctrica, y a los señores **Dr. Guillermo MORALES**, Jefe de la Sección de Computación, **Dr. José Luis GORDILLO** y **Dr. Juan Manuel IBARRA**, Jefe de la Sección de Control Automático, por todo su apoyo para la realización de este intercambio que me ha permitido trabajar en un laboratorio del más alto nivel. También, a los profesores **Dra. Ana María MARTINEZ** y **Dr. Sergio CHAPA**, mis asesores académicos en México, por todas sus conversaciones y consejos. Por último, a los alumnos de las Secciones de Computación y Control Automático, quienes han propiciado un ambiente científico y humano muy rico, del cual me siento orgulloso de formar parte.

# DEDICATORIA:

CENTRO DE INVESTIGACION Y DE  
ESTUDIOS AVANZADOS DEL  
I. P. N.  
BIBLIOTECA  
INGENIERIA ELECTRICA

*A Ramón y Socorro, quienes hace mucho tiempo me enseñaron que pocas cosas son más valiosas que un poco de conocimiento.*

*A Lenis y Daniel, quienes me han proporcionado un ambiente familiar pleno.*

## Introducción.

Las imágenes son proyecciones bidimensionales de escenas tridimensionales. La recuperación de la información de profundidad es un problema fundamental en aplicaciones tales como la navegación automática, la cartografía y la robótica. El objetivo de este trabajo es describir un método para encontrar la correspondencia entre los segmentos de curva de dos imágenes usando técnicas de estereoscopia.

Dadas dos imágenes y el modelo geométrico de las cámaras, la tarea de la estereoscopia es encontrar los puntos, que corresponden en una y en otra imagen, y señalan un punto único en la escena; después, tomando en cuenta la diferencia de los desplazamientos de los puntos en las imágenes (*disparidad*) y la posición de las cámaras, la información de profundidad puede ser calculada mediante una transformación geométrica.

En el Laboratorio de Tratamiento de Imágenes de la E.N.S.T. de Bretagne se trabaja sobre problemas relacionados con el análisis y procesamiento de imágenes, en ocasiones desarrollando investigación básica y en otras en colaboración con empresas de la región con el fin de aplicar esta tecnología a la solución de problemas.

Este trabajo se ubica dentro de un gran proyecto de análisis ocular que tiene como fin el diagnóstico automático de enfermedades. En particular los desarrollos de nuestro trabajo serán utilizados para la determinación de la curvatura de la superficie de los ojos y observar si se pueden obtener parámetros relativos a defectos tales como miopía o astigmatismo.

Nuestro propósito es el diseño y construcción de un modelo para resolver el problema de la correspondencia basado en técnicas de estereoscopia. Proponemos un algoritmo que utiliza descriptores de segmentos de curva como base para recuperar la información de profundidad. Creemos que la representación de estructuras tridimensionales presupone la construcción de procesos de interpolación de superficies, lo cual requiere una solución al problema de la segmentación de objetos en la escena; pensamos que éste es un problema que merece atención por derecho propio y por ello no hemos propuesto una solución al problema de la reconstrucción tridimensional en este escrito.

El reporte se organiza en cuatro capítulos y un apéndice:

Capítulo I. Se proporciona un panorama general de la estereoscopia; se



incluyen temas y trabajos previos importantes.

**Capítulo 2.** Desarrollamos los algoritmos necesarios para la realización del modelo de propuesto.

**Capítulo 3.** Se presentan los resultados que obtuvimos al experimentar con el modelo construido.

**Capítulo 4.** Señalamos algunas conclusiones y proponemos posibles mejoras al proyecto.

**Apéndice.** El trabajo computacional es presentado y descrito.

# Contenido

<b>1</b>	<b>La estereovisión.</b>	<b>1</b>
1.1	Definición del problema. . . . .	1
1.2	Geometría estereo. . . . .	3
1.2.1	Geometría simplificada . . . . .	7
1.3	Detección de contornos. . . . .	9
1.4	Trabajos previos. . . . .	11
1.5	Informalmente: nuestro algoritmo. . . . .	16
<b>2</b>	<b>El modelo de estereoscopia propuesto.</b>	<b>17</b>
2.1	Introducción. . . . .	17
2.2	Filtro Gradiente. . . . .	17
2.3	Adelgazamiento de líneas. . . . .	20
2.4	Extracción de contornos. . . . .	22
2.4.1	Determinación de los segmentos de recta. . . . .	27
2.5	Algoritmo de correspondencia. . . . .	28
2.5.1	Primera etapa. . . . .	29
2.5.2	Segunda etapa. . . . .	30
<b>3</b>	<b>Resultados experimentales.</b>	<b>33</b>
3.1	La tasa. . . . .	33
3.1.1	Imágenes originales. . . . .	33
3.1.2	Imagen gradiente. . . . .	34
3.1.3	Adelgazamiento de líneas. . . . .	35
3.1.4	Extracción de contornos. . . . .	35
3.1.5	Apareamiento . . . . .	36
3.2	Las raquetas de ping-pong. . . . .	38
3.2.1	Imágenes originales. . . . .	38

3.2.2	Imagen gradiente. . . . .	38
3.2.3	Adelgazamiento de líneas. . . . .	39
3.2.4	Extracción de contornos. . . . .	41
3.2.5	Apareamiento. . . . .	42
3.3	El laboratorio. . . . .	45
3.3.1	Imágenes originales. . . . .	45
3.3.2	Imagen gradiente. . . . .	45
3.3.3	Adelgazamiento de líneas. . . . .	47
3.3.4	Extracción de contornos. . . . .	47
3.3.5	Apareamiento. . . . .	51
<b>4</b>	<b>Conclusiones.</b>	<b>53</b>
<b>A</b>	<b>La programación del modelo.</b>	<b>55</b>
A.1	Almacena imagen. . . . .	57
A.2	Recupera imagen. . . . .	59
A.3	Gradiente. . . . .	62
A.4	Adelgazamiento de líneas. . . . .	65
A.5	Extracción de contornos. . . . .	76
A.6	Correspondencia. . . . .	97

# Capítulo 1

## La estereovisión.

### 1.1 Definición del problema.

Nuestros ojos son el modelo más próximo que tenemos para explicar el principio de la estereoscopia. Simplifiquemos enormemente el modelo y olvidémonos por un momento de la enorme complejidad de funcionamiento de los ojos; tomémoslos simplemente como dos captadores visuales con la única misión de transferir imágenes del mundo físico a nuestro cerebro. Un ojo es, en el caso ideal, funcionalmente dependiente con respecto al otro por las siguientes causas:

- Ambos ojos funcionan durante el mismo período de tiempo; es decir, normalmente se abren y cierran simultáneamente, lo cual ocasiona que capten los mismos eventos.
- Los ejes focales de los ojos convergen en el punto de interés; pero en general, el punto de interés se encuentra de tal manera retirado que podemos considerar a los ejes focales como prácticamente paralelos.
- Físicamente, los ojos se encuentran orientados en la misma dirección y a la misma altura en su posición normal.
- El enfoque es el mismo, idealmente, para cada ojo.

Cada ojo capta una escena bidimensional. El cerebro, mediante un mecanismo que no hemos comprendido del todo, procesa ambas imágenes y nos hace

percibir la profundidad<sup>1</sup>.

Ahora bien, un sistema de visión artificial cuyo fin fuera la inferencia de profundidad en una escena, debería contar con los siguientes componentes:

- Dos o más imágenes, tomadas por dos o más cámaras fijas o por una cámara desplazada.
- Un proceso, llamado *calibración*, que determine:
  - La posición de las cámaras en el momento de tomar las imágenes;
  - La profundidad de un punto que nos sirva de referencia para relacionar nuestras medidas con el mundo físico.
- Un sistema de inferencia que dadas como entradas el conjunto de imágenes y el modelo geométrico de las cámaras al momento de tomar las imágenes determine la profundidad de los puntos en la escena.

Varias técnicas del tipo *cooperativo* (ver §1.4) han sido estudiadas. Estas intentan relacionar conocimiento referente al movimiento, la textura o el flujo óptico con la estereoscopia. La integración de tal cantidad de datos constituye un problema muy complejo desde los puntos de vista de la arquitectura computacional y los algoritmos requeridos.

Por medio de la estereocopia se intenta reproducir el funcionamiento del sistema visual humano en el sentido de que, dado un conjunto de imágenes de una escena y el modelo geométrico de las cámaras en el momento de tomar las imágenes, el propósito de la estereoscopia es extraer la información de profundidad de la escena. En la estereoscopia clásica, el problema fundamental consiste en encontrar las proyecciones de una característica en la escena en las dos imágenes (*problema de la correspondencia*).

El arreglo geométrico más simple para experimentación estereoscópica se presenta en la Fig. 1.3. Los planos imágenes son coplanares y los ejes focales se encuentran a la misma altura. Los algoritmos de estereo visión deben identificar puntos de correspondencia entre las dos imágenes con el fin de encontrar la profundidad. Un punto en una imagen estará desplazado en la otra imagen una distancia que es dependiente del desplazamiento relativo de las cámaras y de la profundidad del punto en la escena. Una vez que

---

<sup>1</sup> Podemos inferir profundidad con un solo ojo, pero esto se debe a conocimiento previo, interpretación de movimiento ó inferencia a partir de la iluminación y las sombras.

la correspondencia ha sido efectuada, la profundidad puede ser calculada usando una transformación geométrica o triangulación (ver §1.2).

El proceso de búsqueda de los puntos de correspondencia puede ser simplificado en virtud del modelo geométrico descrito en el párrafo anterior. Dos consideraciones pueden ser postuladas:

- Los puntos que en una imagen aparezcan en la línea  $i$  (*línea epipolar*), aparecerán en la misma línea  $i$  en la otra imagen (*propiedad de epipolaridad*). El plano que se define entre la línea  $i$  y el punto en la escena se le llama *plano epipolar*.
- Definamos el arreglo de la Fig. 1.3 en términos de imagen derecha  $D$  e imagen izquierda  $I$ . Si un punto aparece en la mitad de la derecha de  $D$  entonces, si aparece en la imagen  $I$ , aparecerá en su mitad derecha. Igualmente, si un punto aparece en la mitad de la izquierda de  $I$  entonces, si aparece en la imagen  $D$ , aparecerá en la mitad izquierda. Esto reduce el espacio de búsqueda de un punto.

## 1.2 Geometría estereo.

Con el fin de aplicar la información de profundidad a la resolución de problemas, necesitamos referenciar cada punto que observamos en la imagen con respecto al mundo físico. Con tal efecto definimos dos sistemas coordenados: *el sistema coordenado de la imagen* que nos servirá para localizar puntos en la imagen y *el sistema coordenado global* en donde localizaremos cualquier otra cosa. La Fig. 1.1 ilustra la idea. Mediante el sistema coordenado global, localizamos el punto  $v$  y la cámara, que se encuentra trasladada del origen, rotada horizontalmente un ángulo  $\theta$ , y con una dirección de enfoque alzada un ángulo  $\phi$ . La proyección del punto  $v$  en la imagen,  $v'$ , es medido con respecto al sistema coordenado de la imagen.

Nuestro problema es encontrar una transformación geométrica que nos exprese las coordenadas de un punto en la imagen en términos del sistema coordenado global. Definimos entonces, el plano de la imagen con respecto al sistema coordenado global mediante los siguientes tres pasos:

1. Trasladamos el centro del plano imagen al centro de la cámara mediante

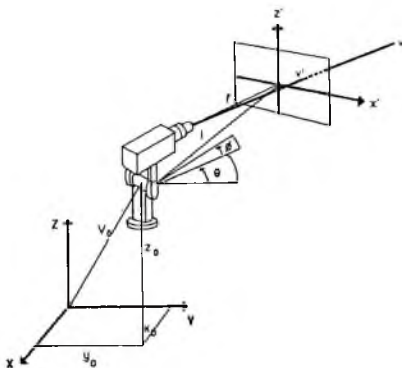


Figura 1.1: **Transformación de perspectiva.** Dos sistemas coordenados son utilizados. La cámara y el punto  $v$  son referenciados por el sistema coordenado global. El sistema coordenado de la imagen, que contiene al punto imagen  $v'$ , es referenciado con respecto a la cámara. Sea  $v_0$  la posición del centro de rotación de la cámara. La cámara tiene un giro horizontal de un ángulo  $\theta$  y su dirección de enfoque está alzada un ángulo  $\phi$ .

una matriz homogénea de traslación  $G$  expresada como:

$$G = \begin{bmatrix} 1 & 0 & 0 & -l_1 \\ 0 & 1 & 0 & -(l_2 + f) \\ 0 & 0 & 1 & -l_3 \\ 0 & 0 & 0 & 1 \end{bmatrix} \quad (1.1)$$

2. Giramos horizontalmente la cámara un ángulo  $\theta$  y bajamos su dirección de enfoque un ángulo  $\phi$ , de tal manera que el eje  $Y$  (el eje de profundidad) del sistema coordenado global quede paralelo con el eje focal de la cámara; lo cual se puede representar por la matriz homogénea de rotación  $S$ , expresada como:

$$S = \begin{bmatrix} \cos \theta & -\cos \phi \sin \theta & \sin \phi \sin \theta & 0 \\ \sin \theta & \cos \phi \cos \theta & -\sin \phi \cos \theta & 0 \\ 0 & \sin \phi & \cos \phi & 0 \\ 0 & 0 & 0 & 1 \end{bmatrix} \quad (1.2)$$

3. Trasladamos el centro de rotación de la cámara  $v_0$  al centro del sistema global. Esto se logra aplicando el operador  $H$ , definido como una matriz homogénea por:

$$H = \begin{bmatrix} 1 & 0 & 0 & -x_0 \\ 0 & 1 & 0 & -y_0 \\ 0 & 0 & 1 & -z_0 \\ 0 & 0 & 0 & 1 \end{bmatrix} \quad (1.3)$$

La transformación anterior, que nos expresa puntos de la imagen en el sistema coordenado global, es llamada transformación inversa de perspectiva y se expresa como:

$$v = H \times S \times G \times v' \quad (1.4)$$

Después de algunos cálculos Richard O. DUDA en [9], obtiene la localización del centro del lente de una cámara con respecto al sistema coordenado global  $v_0$ ;

$$v_0 = \begin{bmatrix} x_0 \\ y_0 \\ z_0 \end{bmatrix} + \begin{bmatrix} l_1 \cos \theta & -l_2 \cos \phi \sin \theta & +l_3 \sin \phi \sin \theta \\ l_1 \sin \theta & +l_2 \cos \phi \cos \theta & -l_3 \sin \phi \cos \theta \\ l_2 \sin \theta & +l_3 \cos \phi & \end{bmatrix} \quad (1.5)$$



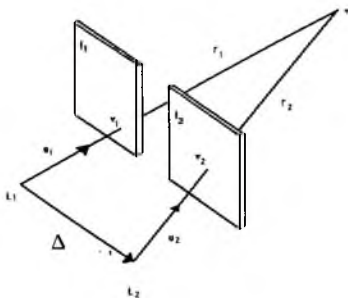


Figura 1.2: Geometría estereo.  $I_1$  e  $I_2$  representan los planos de las imágenes;  $L_1$  y  $L_2$  son los centros de las lentes;  $r_1$  y  $r_2$  son las proyecciones entre el punto  $v$  y los centros de las lentes;  $u_1$  y  $u_2$  son los vectores unitarios en esa dirección;  $\Delta = L_2 - L_1$  es llamado el vector de base ó línea epipolar;  $v_1$  y  $v_2$  son las proyecciones de  $v$ .

y las coordenadas de un punto  $v_p$  en la imagen con respecto al sistema coordenado global como:

$$v_p = \begin{bmatrix} x_0 \\ y_0 \\ z_0 \end{bmatrix} + \begin{bmatrix} (x_p + l_1) \cos \theta - (f + l_2) \cos \phi \sin \theta + (z_p + l_3) \sin \phi \sin \theta \\ (x_p + l_1) \sin \theta + (f + l_2) \cos \phi \cos \theta - (z_p + l_3) \sin \phi \cos \theta \\ (f + l_2) \sin \theta + (z_p + l_3) \cos \phi \end{bmatrix} \quad (1.6)$$

Con las ecuaciones 1.5 y 1.6 como base, analizamos ahora un arreglo arbitrario de las cámaras para experimentación por estereoscopia. El arreglo se muestra en la Fig. 1.2. Enfoquemos nuestra atención en determinar la intersección de las dos proyecciones  $r_1$ ,  $r_2$ . Idealmente, existen dos números,  $a$

y  $b$ , tal que  $au_1 = \Delta + bu_2$ , entonces  $v = L_1 + au_1$  nos da la respuesta buscada. Formalmente, debemos encontrar los valores de  $a$  y  $b$  que minimizen:

$$J(a, b) = |au_1 - (\Delta + bu_2)|^2 \quad (1.7)$$

donde podemos encontrar, después de derivar, los valores:

$$a_0 = \frac{u_1 \cdot \Delta - (u_1 \cdot u_2)(u_2 \cdot \Delta)}{1 - (u_1 \cdot u_2)^2} \quad (1.8)$$

$$b_0 = \frac{(u_1 \cdot u_2)(u_1 \cdot \Delta) - (u_2 \cdot \Delta)}{1 - (u_1 \cdot u_2)^2} \quad (1.9)$$

que minimizan  $J(a, b)$ . El valor  $L_1$  está dado por la ecuación 1.5. Un vector en la dirección del rayo de proyección está dado por  $v_i - L_i$ , donde  $v_i$  está dado por la ecuación 1.6, y entonces:

$$u_i = \frac{v_i - L_i}{|v_i - L_i|} \quad (1.10)$$

donde los subíndices indican la imagen y las lentes de las cámaras.

### 1.2.1 Geometría simplificada

Consideremos ahora el modelo más simple para la experimentación estereoscópica representada en la Fig. 1.3.

En la figura se expresan las siguientes condiciones:

- El centro del lente de la primera cámara está en el origen.
- Los centros de las lentes de las cámaras están alineados y sobre el eje  $X$ ; por lo tanto los puntos en la escena tendrán las mismas coordenadas en el eje  $Z$  en sus proyecciones sobre las imágenes; ésta es llamada *condición de epipolaridad*.
- Los ejes focales de las dos cámaras son paralelos entre si y paralelos con el eje de profundidad  $Y$ .

Para expresar matemáticamente el modelo simplificado tomamos como referencia la Fig. 1.4, en donde asumimos que la coordenada de altura  $Z$

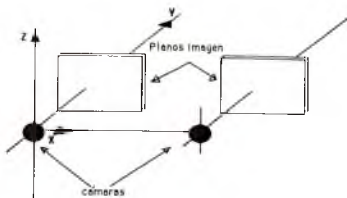


Figura 1.3: Geometría simplificada. Las dos cámaras están relacionadas por un desplazamiento horizontal.

es la misma para todos los puntos del plano (condición de epipolaridad) y para facilitar la comprensión de la idea, no es mencionada. Un punto  $p$  de coordenadas  $(x_p, y_p)$ , se proyecta sobre dos planos imágenes separados del centro de sus lentes una distancia  $f$ . Gracias a la geometría del modelo y a la semejanza entre triángulos, las siguientes relaciones pueden ser postuladas:

$$\frac{x_1}{f} = \frac{x_{p1}}{y_p} \quad (1.11)$$

$$\frac{x_2}{f} = \frac{x_{p2}}{y_p} \quad (1.12)$$

y

$$d = x_{p1} + x_{p2} \quad (1.13)$$

donde  $d$  es la distancia entre los centros de las lentes de las cámaras,  $x_1$  y  $x_2$  son las distancias de las proyecciones sobre el eje  $X$  de la imagen del punto  $p$  a los centros de las lentes de las cámaras 1 y 2 respectivamente y  $x_{p1}$  y  $x_{p2}$  son distancias de las proyecciones del punto  $p$  a los centros de las lentes de las cámaras 1 y 2 respectivamente.

Resolviendo este sistema de ecuaciones, el cálculo de la profundidad  $Y$  se reduce a:

$$Y = \frac{fd}{x_1 - x_2} \quad (1.14)$$

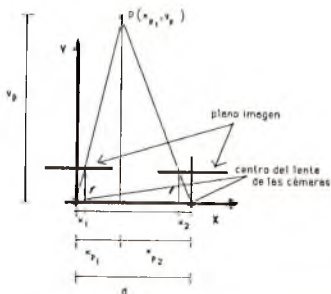


Figura 1.4: Geometría estereocóica simplificada. El punto  $p$  se proyecta sobre dos imágenes;  $f$  es la distancia focal de las lentes;  $x_1$  y  $x_2$  son las distancias de las proyecciones de las imágenes sobre el eje  $X$  al centro de las lentes;  $x_{p1}$  y  $x_{p2}$  son las distancias de las proyecciones del punto  $p$  sobre el eje  $X$  al centro de las lentes y  $d$  es la distancia entre las lentes.

que nos reduce el problema del cálculo de la profundidad de un punto, al conocimiento de la distancia focal  $f$  propia del lente, la distancia entre el centro del lente de las cámaras  $d$  y la disparidad entre los puntos.

### 1.3 Detección de contornos.

Una vez determinado que la solución al problema de obtención de información de profundidad se resuelve por el descubrimiento de la correspondencia entre características en ambas imágenes, debemos determinar cuales son esas características. Eric Leifur GRIMSON en [3], determinó que las características sobresalientes de una superficie se obtienen de acuerdo a los cambios que la luz experimenta al reflejarse en las superficies, es decir el cambio en la luminosidad. El cambio de luminosidad se mantiene constante entre los contornos

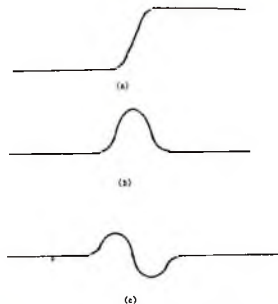


Figura 1.5: Detección de cambios en una imagen unidimensional. En (a) se presenta un cambio en la luminosidad. El cambio es asociado a un máximo local en la primera derivada (b) y un cruzamiento por cero en la segunda derivada (c).

de un objeto<sup>2</sup>. Los lugares de cambio de luminosidad tienen por lo tanto, la propiedad matemática de que la primera derivada presenta un máximo o un mínimo y la segunda derivada un cruzamiento por cero (ver Fig. 1.5).

La derivada es un operador direccional, esto significa que la operación se realiza tomando como referencia alguno de los ejes coordenados. Esto presenta la dificultad de que algunas imágenes no tienen sus cambios de luminosidad de tal manera que la derivada los detecte fácilmente. La Fig. 1.6 presenta el caso de la aplicación de la segunda derivada en la detección de los cruces por cero. La fidelidad del resultado del operador depende de la dirección en la que se aplique. Debemos aplicar la segunda derivada de tal manera que coincida con la dirección de máximo cambio, con el fin de obtener un resultado fiable.

Para resolver el problema de la determinación del máximo cambio en la

<sup>2</sup>Esto establece un paralelismo con la estructura física de los objetos, pues entre los contornos el cambio de profundidad se mantiene constante.

segunda derivada, se utiliza comúnmente el Operador Laplaciano  $\nabla^2$ ; el cual obtiene la máxima magnitud permitiendonos prescindir de la dirección en la cual se aplica la operación.

Prácticamente, el Laplaciano no es aplicado directamente sobre la imagen. Primeramente, la imagen es suavizada por medio de un filtro que degrade las altas frecuencias (filtro pasa-bajas). Se ha utilizado ampliamente la convolución de la imagen con un filtro Gaussiano:

$$G_\sigma(x, y) * I(x, y) \quad (1.15)$$

donde el operador Gaussiano  $G_\sigma$ , está dado por:

$$G_\sigma(x, y) = \sigma^2 \exp^{-(x^2+y^2)/(2\sigma^2)} \quad (1.16)$$

e  $I$  es la función de la imagen.

Matemáticamente, la imagen es filtrada utilizando el siguiente grupo de operadores:

$$f(x, y, \sigma) = \nabla^2 G_\sigma * I(x, y). \quad (1.17)$$

El operador de convolución  $\nabla^2 G_\sigma$  está dado por:

$$\nabla^2 G_\sigma(r, \sigma) = \left( \frac{r^2 - 2\sigma^2}{\sigma^4} \right) \exp\left( \frac{-r^2}{2\sigma^2} \right) \quad (1.18)$$

donde:

$$r = \sqrt{x^2 + y^2} \quad (1.19)$$

El parámetro libre  $\sigma$  determina el tamaño espacial de la función.

Para obtener una descripción de los cambios en la imagen, aplicamos el filtro y localizamos los cruzamientos por cero en el resultado.

## 1.4 Trabajos previos.

El problema fundamental en estereoscopia, llamado *el problema de la correspondencia*, es encontrar las proyecciones de las características de la escena en las dos imágenes. Estas características pueden ser puntos, rectas, curvas, superficies, etc. Tradicionalmente, podemos clasificar las soluciones al problema de la correspondencia desde dos puntos de vista:

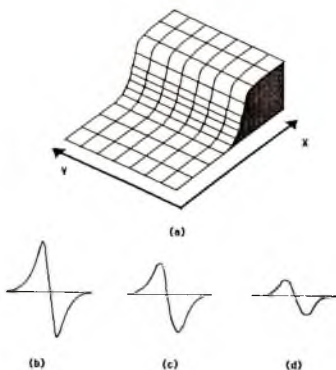


Figura 1.6: Factores espaciales y direccionales en la aplicación de la segunda derivada. En (a) se muestra un cambio de luminosidad y (b), (c) y (d) son las segundas derivadas en varias direcciones. En (b) la segunda derivada es tomada con respecto al eje  $x$ , y en (c) y (d) la segunda derivada es tomada a 30 y 60 grados con respecto al eje  $x$ . La segunda derivada con respecto a  $Y$  daría cero en esta zona.

**Técnicas basadas en la intensidad.** Se basan en la búsqueda de la correspondencia punto a punto de las imágenes tomando en cuenta la luminosidad de los píxeles en la imagen. Por ejemplo los siguientes dos algoritmos del tipo cooperativo<sup>3</sup>:

- Ellen C. HILDRETH en [5], presentó un algoritmo que involucra movimiento con estereoscopia, tal que la organización del movimiento en una serie de imágenes nos permiten analizar el ambiente en términos de objetos, su movimiento en el espacio y su estructura tridimensional, inferida en base al cambio en las intensidades de luz que percibe la cámara. Su análisis se divide en dos etapas. Primero la determinación de la magnitud y dirección de la velocidad de los elementos en la imagen en base a sus cambios de intensidad. Segundo los objetos son separados y su estructura tridimensional inferida.
- Nasser M. NASRABADI, Sandra P. CLIFFORD, y Yi LIU en [4], integran el flujo óptico (desplazamiento de los píxeles entre una imagen y la siguiente) con la intensidad de los puntos en la imagen para producir una función que expresará las discontinuidades de profundidad de la solución. La información de intensidad de los píxeles en las imágenes estereo es utilizada para calcular la estructura tridimensional, mientras que el flujo óptico confirma la aproximación y ofrece solución para las regiones ocluidas u ocultas.

**Técnicas basadas en características.** Se selecciona alguna primitiva como líneas rectas, esquinas de objetos o segmentos de curvas para el apareamiento. Los algoritmos basados en características son menos caros, computacionalmente, que los algoritmos basados en la intensidad debido a la utilización de primitivas.

A continuación presentaremos dos algoritmos para la solución del problema de la estereoscopia basados en características, que fueron de preciosa ayuda para el desarrollo del presente trabajo.

---

<sup>3</sup>Son algoritmos del tipo cooperativo aquellos que obtienen información de movimiento, flujo óptico u otra y la integran como consorcio a la información estereoscópica en la búsqueda de la profundidad.



### Segmentos de línea recta como primitivas.

Ramakant NEVATIA y Gerard MEDIONI propusieron un algoritmo en [8], en el cual utilizan segmentos de línea recta como primitivas. Una serie de filtros, cada uno de ellos sensible a una dirección de recta diferente, es utilizado para determinar la dirección de la recta en un punto. El resultado es encadenado a otras rectas. Para cada recta se almacena un conjunto de descriptores consistente en: las coordenadas de los puntos finales, la orientación y el promedio del contraste.

### El algoritmo de correspondencia.

- Para cada recta  $i$  en una imagen se construye una ventana en la otra imagen sobre la cual se buscan las rectas  $j$  que corresponden a  $i$ . Se define la función  $p(i, j)$ , que indica el promedio de la disparidad o diferencia entre los puntos correspondientes a las rectas  $i$  y  $j$ .
- Sobre el conjunto de características que corresponden se calcula una función de evaluación  $v(i, j)$ , que consiste en comparar los valores de la función  $p(i, j)$  para el conjunto de rectas en la vecindad próxima de  $i$  y  $j$ . La función  $v(i, j)$  se utiliza como una forma de darle robustez a la correspondencia, pues utiliza además, la restricción de continuidad en los objetos de la escena ( ver Fig.1.7). Al final se elige el segmento con el valor de  $v(i, j)$  que indica mayor certeza de continuidad del contorno del objeto.

### Utilización de la dirección de la curva.

Nasser M. NASRABADI y Yi LIU en [7] presentaron un algoritmo que utiliza segmentos de curva como primitivas en el proceso de correspondencia. Ellos aplican el filtro laplaciano (ver §1.3) dando tres valores diferentes a la variable de control  $\sigma$  con lo cual obtienen tres imágenes diferentes de contorno para cada imagen del par estereo. Para cada imagen del contorno obtienen los segmentos de curva de la siguiente manera:

- Encontrar un pixel del contorno.

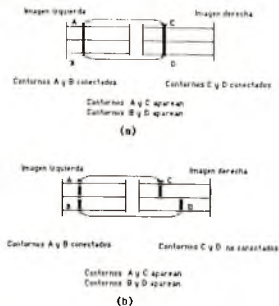


Figura 1.7: **Restricción de continuidad.** En (a) Los contornos B y D son compatibles con el conocimiento previo, mientras que en (b) no lo son.

- Determinar la dirección del promedio local del gradiente y sobre cada pixel de la vecindad ocho conectada buscar el segmento de curva. Un pixel es sujeto de búsqueda si la dirección del promedio local del gradiente no cambia demasiado con respecto al anterior.

Una tabla, llamada R tabla, es construida para cada segmento de curva. La tabla contiene para cada pixel, su orientación y su distancia al centroide de la curva.

Las entradas al algoritmo de correspondencia son los segmentos de curva extraídos de las imágenes. Cada segmento está identificado por una etiqueta, la localización de su centroide, su R-tabla, la longitud de la curva y la localización de cada pixel de contorno en la curva.

Se construye un grafo relacional para cada imagen. Los nodos del grafo son las localizaciones del centroide y los arcos las relaciones entre los centroides. Las R-tablas representan la estructura interna del nodo y las distancias entre los centroides las características estructurales de los objetos en la escena. Los grafos de las escenas son similares y podemos aplicar un algoritmo que nos busque el máximo número de asociaciones no contradictorias

o *máximo clique* sobre el grafo.

Procediendo desde el nivel de menor al mayor detalle (desde un valor  $\sigma$  alto hasta uno bajo se evalúan las nuevas disparidades encontradas en base a las primeras encontradas.

## 1.5 Informalmente: nuestro algoritmo.

Nuestro algoritmo parte de una premisa fundamental: Los contornos de los objetos son aproximables analíticamente por trozos; ésto es, podemos aproximar una función sobre una parte del contorno del objeto que está limitada por puntos de singularidad, partes donde la función no es continua. Si podemos caracterizar esos segmentos de curva naturales de los objetos habremos dado el paso de aumentar el nivel de abstracción desde niveles de gris en la imagen hasta expresiones matemáticas de los contornos. Tras lo cual el proceso de correspondencia entre los objetos se puede llevar a cabo tomando en cuenta las características de cada curva y la relación de las curvas con respecto a los objetos y por último la relación de los objetos en la escena.

La descripción de todo tipo de curvas a partir de una imagen no es tarea sencilla, el ruido por una parte y la enorme variedad de curvas por otro nos vuelven la tarea extremadamente complicada. Proponemos la aproximación de curvas mediante pequeños segmentos de línea recta; lo suficientemente pequeños como para que la naturaleza original de la curva no se pierda y lo suficientemente grandes como para que expresen de manera robusta la dirección de la curva en esa parte. Igualmente se propone la sustitución de la expresión analítica de la curva por su expresión en términos de descriptores; si el conjunto de descriptores de la curva es completo, entonces la curva será suficientemente distinguible. Por último, proponemos el empleo de la información estructural de los segmentos de curva con respecto a los objetos con el fin de eliminar ambigüedades.

El método propuesto tiene algunas restricciones de antemano. Las oclusiones no se manejan y estamos atentos a una buena detección de contornos. El primer problema lo dejamos abierto; el segundo se soluciona con la utilización de los potentes operadores (Laplaciano del Gaussiano, Canny<sup>4</sup>, etc.), que la teoría del procesamiento de imágenes nos ofrece.

---

<sup>4</sup>Ver la presentación de John CANNY en [11], para mayor detalle.

## Capítulo 2

# El modelo de estereoscopia propuesto.

### 2.1 Introducción.

El esquema del modelo para experimentación estereoscópica desarrollado se muestra en la Fig. 2.1. Dos imágenes son tomadas siguiendo el modelo presentado en la subsección 1.2.1. En seguida, las imágenes se sometieron a un proceso de detección de contornos de acuerdo a la teoría que se expondrá en §2.2. Los contornos detectados resultaban demasiado gruesos para realizar la extracción de contornos con nuestro modelo, por lo que antes las imágenes fueron sometidas a un algoritmo de adelgazamiento de líneas. Este algoritmo será formalmente presentado en §2.3. El modelo de extracción de contornos será introducido en §2.4. Se busca la correspondencia entre los segmentos de curva extraídos de acuerdo a nuestro alegato en §2.5 y por último la profundidad es detectada siguiendo las ecuaciones de nuestro modelo geométrico (ver subsección 1.2.1).

### 2.2 Filtro Gradiente.

Si  $(\delta f)/(\delta x)$  y  $(\delta f)/(\delta y)$  son la razón de cambio de una función  $f$  en dos direcciones perpendiculares  $x$  y  $y$ , entonces la razón de cambio en cualquier

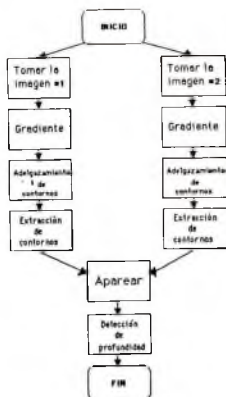


Figura 2.1: Diagrama a bloques del modelo propuesto.

dirección  $\theta$ , medida desde el eje- $x$ , es:

$$D_u f(x, y) = \frac{\delta f}{\delta x} \cos \theta + \frac{\delta f}{\delta y} \sin \theta \quad (2.1)$$

donde  $D_u f(x, y)$  expresa la derivada direccional de  $f(x, y)$ . La dirección en la cual la razón de cambio tiene su máximo valor es  $\arctan(\delta x / \delta y)$ , su magnitud es  $\sqrt{(\delta f / \delta x)^2 + (\delta f / \delta y)^2}$ . El vector que tiene esta dirección y esta magnitud es llamado el *gradiente* de  $f$ .

La respuesta de la derivada direccional varía de acuerdo a la orientación del contorno. Para usar la derivada en la detección de contornos, utilizamos la magnitud del gradiente, el cual nos proporciona la razón de cambio en la dirección de máxima variación.

Para poder utilizar una computadora digital, debemos trasladar nuestras expresiones para trabajar con diferencias en lugar de derivadas y con una función  $I$  discreta en lugar de la función  $f$  continua:

$$(\Delta_x I)(x, y) \equiv I(x, y) - I(x - 1, y) \quad (2.2)$$

$$(\Delta_y I)(x, y) \equiv I(x, y) - I(x, y - 1) \quad (2.3)$$

Lo cual equivale a realizar la convolución de  $I$  con los siguientes vectores:

$$\begin{bmatrix} 1 & -1 \end{bmatrix} \quad \text{y} \quad \begin{bmatrix} 1 \\ -1 \end{bmatrix} \quad (2.4)$$

La magnitud del operador gradiente sobre una imagen  $I$  se expresa como:

$$G[I(x, y)] \cong \sqrt{[I(x, y) - I(x + 1, y)]^2 + [I(x, y) - I(x, y + 1)]^2} \quad (2.5)$$

Resultados similares pueden alcanzarse utilizando valores absolutos:

$$G[I(x, y)] \cong |I(x, y) - I(x + 1, y)| + |I(x, y) - I(x, y + 1)| \quad (2.6)$$

La relación entre los pixeles es mostrada en la Fig. 2.2 (a).

Otra forma de obtener el gradiente es el llamado *Operador Roberts*, el cual utiliza las diferencias cruzadas (ver Fig. 2.2 (b)):

$$G[I(x, y)] \cong \sqrt{[I(x, y) - I(x + 1, y + 1)]^2 + [I(x + 1, y) - I(x, y + 1)]^2} \quad (2.7)$$

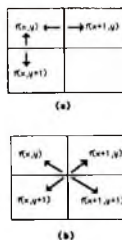


Figura 2.2: Cálculo del filtro gradiente.

En (a) y (b) se muestran los cálculos de las ecuaciones 2.6 y 2.8 respectivamente.

o, usando valores absolutos:

$$G[I(x,y)] \cong |I(x,y) - I(x+1,y+1)| + |I(x+1,y) - I(x,y+1)| \quad (2.8)$$

Existen muchas maneras de utilizar el resultado del filtro gradiente; a nosotros nos interesa caracterizar los píxeles de la imagen como pertenecientes a una de dos clases: CONTORNO o FONDO; por lo cual aplicamos la siguiente relación:

$$J(x,y) = \begin{cases} \text{CONTORNO} & \text{si } G[I(x,y)] \geq \alpha \\ \text{FONDO} & \text{si no} \end{cases} \quad (2.9)$$

Donde  $\alpha$  es un valor real arbitrario llamado *umbral de binarización*.

### 2.3 Adelgazamiento de líneas.

El adelgazamiento de líneas es utilizado como una etapa intermedia entre la detección de los contornos y su extracción. El objetivo del adelgazamiento de líneas es generar un *esqueleto unitario* (un esqueleto de un píxel de grosor). Es decir, cada píxel debe estar conectado con no más de dos píxeles adyacentes a

$P_9$	$P_2$	$P_3$
$P_8$	$P_1$	$P_4$
$P_7$	$P_6$	$P_5$

Figura 2.3: Vecinos del punto  $P_1$  en una ventana de  $3 \times 3$ 

menos que se trate de una intersección de curvas. A continuación presentamos el algoritmo propuesto por T.Y. ZHANG y C.Y. SUEN con la mejora de Humberto SOSSA (ver [10]):

#### Algoritmo de adelgazamiento de líneas

Sea la función discreta  $I(x, y, g)$ , la representación de una imagen digital, donde  $1 \leq x \leq C$ ,  $1 \leq y \leq H$ , y  $0 \leq g \leq 1$ .  $H$  y  $C$  son el número de hileras, columnas respectivamente;  $x, y$  y  $g \in$  enteros. Definamos a  $P_i$  como instancias de  $I$  llamadas puntos.  $I$  así considerado contiene solamente dos clases (CONTORNO y FONDO), de tal manera que:

$$I(i, j, k) = \begin{cases} \text{CONTORNO} & \text{si } k = 1 \\ \text{FONDO} & \text{si } k = 0 \end{cases} \quad (2.10)$$

Para el proceso de adelgazamiento se usará una ventana de  $3 \times 3$  con el ordenamiento de píxeles que se muestra en la Fig. 2.3.

**Algoritmo:** Adelgazamiento de líneas.

**Entradas:** La imagen digital  $I$ .

**Salidas :** La imagen digital  $I'$  cuyas líneas forman un esqueleto unitario.

1. Realizar el siguiente conjunto de iteraciones sobre la función  $I$ :

**Iteración 1.** El punto  $P_1$  es borrado de la imagen si cumple las siguientes condiciones:

- (a)  $P_2 \times P_4 \times P_6 = 0$
- (b)  $P_4 \times P_6 \times P_8 = 0$
- (c)  $2 \leq B(P_1) \leq 6$



$$(d) A(P_1) = 1$$

donde  $A(P_1)$  es el número de patrones 01 en el conjunto ordenado  $P_2, P_3, \dots, P_9$ , y

$$B(P_1) = \sum_{i=2}^9 P_i \quad (2.11)$$

es el número de vecinos no cero de  $P_1$ .

**Iteración 2.** En esta segunda iteración, las condiciones 1a y 1b son cambiadas por:

$$(a) P_2 \times P_4 \times P_8 = 0$$

$$(b) P_2 \times P_6 \times P_8 = 0$$

y el resto permanece igual.

**Iteración 3.** En esta tercera iteración, el punto  $P_1$  es borrado de la imagen si cumple una de las siguientes condiciones:

$$(a) \bar{P}_5 \times P_4 \times P_6 = 1$$

$$(b) \bar{P}_3 \times P_6 \times P_8 = 1$$

$$(c) \bar{P}_5 \times P_8 \times P_2 = 1$$

$$(d) \bar{P}_7 \times P_2 \times P_4 = 1$$

2. Repetir el paso anterior hasta que ningún punto sea borrado de la imagen.

## 2.4 Extracción de contornos.

La imagen original ha sido pasada por un detector de contornos en la forma del Operador Roberts. Después, los contornos han sido erosionados hasta lograr su representación como un esqueleto unitario. Ahora debemos manejar la imagen para extraer de ella una información que represente un nivel más alto de abstracción que simples niveles de gris.

**Definición 2.1 Segmento de curva.** *Es la secuencia conectada de píxeles definida entre dos esquinas o junciones.*

Una de las consecuencias de la definición 2.1, los segmentos de curva se definen sobre  $Z^\epsilon$  (el dominio de los enteros) y no sobre  $\mathcal{R}^\epsilon$  el dominio de los reales.

**Definición 2.2** *Esquina o junción.* Es el lugar en el cual la dirección de la curva cambia más que un cierto ángulo  $\delta$  o deja de existir.

Nuestro propósito es encontrar los segmentos de curva entre los que se definen los objetos en la imagen, caracterizar esas curvas mediante un conjunto de descriptores y utilizar los descriptores para encontrar las curvas que corresponden. Un proceso posterior tomará las curvas que correspondieron y la información de profundidad podrá ser calculada punto a punto.

De acuerdo a las condiciones experimentales a las que ha sido sometido nuestro modelo de la cámara, los segmentos de curva varían poco; de tal manera que los descriptores se conservan dentro de un rango pequeño. Pero la extracción de la curva sigue siendo afectada por el ruido y defectos en la operación de detección de contornos.

**Suposición 2.1** *Cualquier segmento de curva puede ser aproximada por segmentos de línea recta.*

El grado de exactitud de la aproximación depende de la longitud y del número de segmentos de línea recta; por lo tanto, para reducir el error se tenderá a la elección de un gran número de segmentos de recta pequeños.

Supongamos que tenemos el círculo de la Fig. 2.4 y las aproximaciones en base a tres, cuatro y ocho segmentos de rectas del mismo tamaño. Si tomamos un número suficientemente grande de segmentos de rectas (lo cual determina la longitud del segmento) obtendremos una representación tan exacta como queramos del objeto original. Así pues, las curvas presentes en una imagen podrán ser aproximadas por segmentos de línea recta y al mismo tiempo conservar las propiedades de la curva, siempre y cuando los segmentos de recta tengan una longitud suficientemente pequeña.

### Desarrollo del algoritmo

Sea la función discreta  $I(x, y, g)$ , la representación de una imagen digital, donde  $1 \leq x \leq C$ ,  $1 \leq y \leq H$ , y  $0 \leq g \leq 1$ .  $H$  y  $C$  son el número de hileras y columnas respectivamente; las variables  $x$ ,  $y$  y  $g \in$  enteros. Definamos a  $p$  como una instancia de  $I$ , a la que llamaremos punto. La función  $I$  así considerada contiene solamente dos clases (CONTORNO y FONDO), de tal manera que:

$$I(i, j, k) = \begin{cases} \text{CONTORNO} & \text{si } k = 1 \\ \text{FONDO} & \text{si } k = 0 \end{cases} \quad (2.12)$$

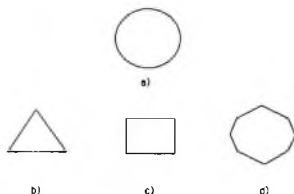


Figura 2.4: **Aproximación de un objeto por segmentos de rectas.** En (a) se presenta el objeto original, en (b), (c) y (d) se aproxima por 3, 4 y 8 segmentos de línea recta.

Definamos finalmente  $V(p)$  como la vecindad de  $p$ , que corresponde a un cuadrado que tiene como centro a  $p$  y tiene longitud de lado entera y positiva y por lo demás arbitraria.

**Algoritmo:** Obtención de los segmentos de curva de una imagen.

**Entradas:** La imagen digital  $I$ , caracterizada por las clases CONTORNO y FONDO.

**Salidas :** El conjunto  $E$ , que representa las curvas en  $I$ .

1. Encontrar el punto  $p(i, j, k)$  tal que  $k \in \text{CONTORNO}$ . Si no existe ir al paso 7
2. Aproximar el segmento de recta  $l$  que se describe en  $V(p)$ , si no existiera ir al paso 1. En otro caso guardar los puntos extremos de ese segmento,  $q$  y  $r$ , para futuras referencias.
3. Utilizar el punto  $q$ , un extremo del segmento de recta, para encontrar un segmento de recta  $l_1$  en  $V(q)$  que tendrá como puntos extremos  $q_1$  y  $q_2$ . Comparar el segmento  $l_1$  con el obtenido en el paso anterior; si la diferencia entre las pendientes es muy grande

hemos encontrado un extremo del segmento de curva y debemos continuar con el otro extremo (ir al paso 5).

4. Uno de los puntos extremos del segmento de recta encontrado,  $q_1$  o  $q_2$ , es igual al centro del segmento anterior, continuar el seguimiento del segmento de curva en la dirección del otro punto (ir al paso 3).
5. Utilizar el punto  $r_1$ , un extremo del segmento de recta, para encontrar un segmento de recta  $l_2$  en  $V(r_1)$  que tendrá como puntos extremos  $r_1$  y  $r_2$ . Comparar el segmento  $l_2$  con el obtenido en el paso anterior; si la diferencia entre las pendientes es muy grande hemos encontrado el segundo extremo del segmento de curva y debemos continuar con otra curva. Agregar la curva recién recorrida al conjunto  $E$  (ir al paso 1).
6. Uno de los puntos extremos del segmento de recta encontrado,  $r_1$  o  $r_2$  es igual al centro del segmento anterior, continuar el seguimiento del segmento de curva en la dirección del otro punto (ir al paso 5).
7. Hemos finalizado el análisis de la escena.

El problema de la dimensión de la  $V(p)$  queda abierto. Debe ser tan pequeño para no correr el riesgo de que dos más rectas entren a la ventana y suficientemente grande como para expresar de manera robusta una dirección. Nosotros hemos encontrado experimentalmente que un valor de  $11 \times 11$  para una imagen de 768 columnas  $\times$  512 hileras es adecuado.

La Fig. 2.5 presenta una ventana, al seguir en las direcciones de los puntos  $p$  y  $q$  podemos explorar todo el segmento de curva y al mismo tiempo extraer el conjunto de descriptores de la curva. El conjunto de descriptores para cada segmento de curva incluyen:

- La longitud del segmento de curva.
- La dirección promedio del segmento de curva.
- Las coordenadas del centroide.
- Las coordenadas de los puntos inicial y final del segmento de curva.

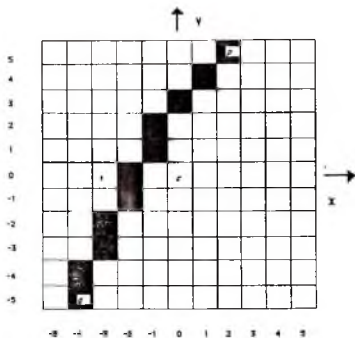


Figura 2.5: Ejemplo de una ventana. Las coordenadas de los puntos inicial y final son  $(2, 5)$  y  $(-4, -5)$  y la recta definida es aproximadamente  $y = 1.5x + 3$ . En la figura,  $c$  es el centro de la ventana y  $p$  y  $q$  los extremos del segmento de recta definido.

### 2.4.1 Determinación de los segmentos de recta.

El problema consiste en aproximar un conjunto de puntos ubicados dentro una ventana a una línea recta; para ello elegimos el método de mínimos cuadrados.

La solución natural de aproximar mediante la minimización de la distancia de los puntos a la recta conduce a ecuaciones muy complejas (ver [2]), en las cuales la eliminación de términos que llevan a la simplificación tiende a perder la respuesta para casos degenerados, como  $x = k$  (donde  $k$  es una constante arbitraria). En el presente trabajo obtuvimos las soluciones para dos funciones:

- La que calcula el error asumiendo que las coordenadas  $x$  de los datos de entrada son buenos y los de  $y$  pueden ser malos.
- Asumir que las coordenadas  $y$  de los datos de entrada son buenos y las  $x$  pueden estar mal.

Escogemos los parámetros que minimizan la función que calcula el error para la suma de las distancias a la recta.

Las coordenadas de  $x$  son exactas y las de  $y$  pueden no serlo. Minimicemos:

$$S = \sum_{i=1}^n (y_i - ax_i - b)^2 \quad (2.13)$$

Es decir, postulemos las condiciones:  $\delta S / \delta a = \delta S / \delta b = 0$ . Aplicando estas condiciones obtenemos:

- $\delta S / \delta a = 0$

$$\sum_{i=1}^n x_i (y_i - ax_i - b) = 0 \quad (2.14)$$

- $\delta S / \delta b = 0$

$$\sum_{i=1}^n (y_i - ax_i - b) = 0 \quad (2.15)$$

Resolviendo para  $a$  y  $b$  llegamos a las siguientes ecuaciones:

$$a = \frac{n \sum_{i=1}^n (x_i y_i) - \sum_{i=1}^n x_i \sum_{i=1}^n y_i}{n \sum_{i=1}^n x_i^2 - (\sum_{i=1}^n x_i)^2} \quad (2.16)$$

$$b = \frac{1}{n} \left\{ \sum_{i=1}^n y_i - a \sum_{i=1}^n x_i \right\} \quad (2.17)$$

Las coordenadas de  $y$  son exactas y las de  $x$  pueden no serlo. Minimicemos:

$$S = \sum_{i=1}^n \left( x_i - \frac{y_i - b}{a} \right)^2 \quad (2.18)$$

Aplicando las condiciones  $\delta S / \delta a = \delta S / \delta b = 0$ , y resolviendo para  $a$  y  $b$ , tenemos:

$$a = \frac{n \sum_{i=1}^n y_i^2 - (\sum_{i=1}^n x_i)^2}{n \sum_{i=1}^n (x_i y_i) - \sum_{i=1}^n x_i \sum_{i=1}^n y_i} \quad (2.19)$$

$$b = \frac{1}{n} \left\{ \sum_{i=1}^n y_i - a \sum_{i=1}^n x_i \right\} \quad (2.20)$$

Entre los conjuntos de parámetros calculados, escogemos aquellos que minimizan la función  $E$ :

$$E = \frac{\sum_{i=1}^n (a_0 x_i^2 + y_i^2 + b_0)^2}{a^2 + 1} \quad (2.21)$$

## 2.5 Algoritmo de correspondencia.

El proceso de correspondencia se realiza en dos etapas. Durante la primera, se construye un grafo que representa las correspondencias potenciales de cada curva de acuerdo a los valores de sus descriptores; los desempates son efectuados en base al desplazamiento observado por la mayoría de las curvas. La segunda etapa trata de encontrar la correspondencia entre los segmentos de curva que no fueron abarcados durante la etapa anterior; para ello se forman grupos de curvas que llamamos *circuitos* y que representan una sucesión de segmentos de curva muy próximas entre si .

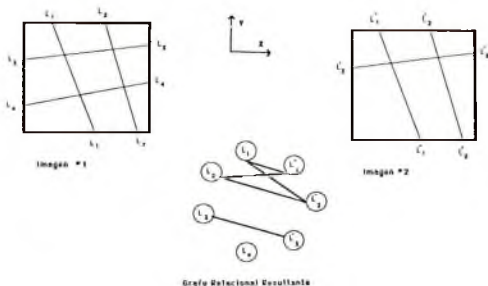


Figura 2.6: **Representación de una estructura relacional por un grafo.**

La imagen izquierda y derecha contienen los segmentos  $L_i$  y  $L'_i$  respectivamente; de ellas se deriva el grafo resultante.

### 2.5.1 Primera etapa.

Definamos una estructura relacional sobre el conjunto de elementos  $V_i$  que forman los segmentos de curva  $v_{i,j}$  localizadas en la imagen  $i$ . Sea el conjunto  $P$  de predicados unarios  $p_k$ , definidos sobre cada elemento de  $V_i$ :

- $p_1(v_{i,j})$ . El centroide de la curva,
- $p_2(v_{i,j})$ . El promedio de la dirección de la curva,
- $p_3(v_{i,j})$ . La longitud de la curva.

Formemos por último el predicado binario  $R$  definido sobre pares de elementos de la primera y segunda imagen:

$$R(v_{1,r}, v_{2,s}) = \begin{cases} \text{VERDADERO} & \text{si } \begin{cases} (p_1(v_{1,r}) \cong p_1(v_{2,s})) \wedge \\ (p_2(v_{1,r}) \cong p_2(v_{2,s})) \wedge \\ (p_3(v_{1,r}) \cong p_3(v_{2,s})) \end{cases} \\ \text{FALSO} & \text{en otro caso.} \end{cases} \quad (2.22)$$



con  $1 \leq r \leq N_1$  y  $1 \leq s \leq N_2$ . Donde  $N_1$  y  $N_2$  representan el número de segmentos de curva en la primera y segunda imagen respectivamente. Si aplicamos el predicado  $R$  a los segmentos de curva resultantes del proceso de extracción de contornos, obtendremos un grafo de asociación entre nodos con propiedades semejantes.

Refrámonos a la Fig. 2.6, las imágenes izquierda y derecha están constituidas por los segmentos de curva  $L_i$  y  $L'_i$  respectivamente. Bajo el modelo de experimentación presentado en §1.2 y suponiendo que las líneas de epipolaridad fueran paralelas al eje  $X$  y que el predicado  $R$  es VERDADERO, tendríamos el grafo relacional resultante mostrado. La correspondencia que se presenta entre  $L_1 - L'_1$  y  $L_1 - L'_2$ , y entre  $L_2 - L'_1$  y  $L_2 - L'_2$  puede ser manejada por la naturaleza del desplazamiento del centroide presentado por la mayoría de los candidatos a corresponder; en escenas con un mayor número de segmentos de curva que corresponden esta tendencia es aún más marcada.

### 2.5.2 Segunda etapa.

Se da el caso que por algún defecto en la detección de contornos o aún del adelgazamiento de líneas, algunos segmentos de curvas no corresponden; esta etapa trata con ellas.

**Definición 2.3 Circuito:** *Es un conjunto  $T$  de segmentos de curvas en los que se conserva la propiedad de proximidad mediata o inmediata.*

**Definición 2.4 Proximidad inmediata:** *Dados dos segmentos de curva diferentes  $r$  y  $s$ , existe proximidad inmediata entre ellos, si la distancia entre uno de los extremos de  $r$  a uno de los extremos de  $s$  es menor que un valor arbitrario  $\gamma$ . El valor de  $\gamma$  tiende a ser pequeño y del orden de unos cuantos píxeles.*

**Definición 2.5 Proximidad mediata:** *Dados dos segmentos de curva diferentes  $p$  y  $q$ , existe proximidad mediata entre ellos, si existen  $r_1, r_2, \dots, r_{k+1}$  para  $k \geq 2$ , tal que  $r_1 = p$  y  $r_{k+1} = q$  y hay proximidad inmediata entre  $r_i$  y  $r_{i+1} \forall_{i=1, \dots, k}$ .*

Ejemplos ilustrativos de los conceptos de proximidad mediata e inmediata se presentan en la Fig. 2.7. Una imagen puede estar compuesta de varias

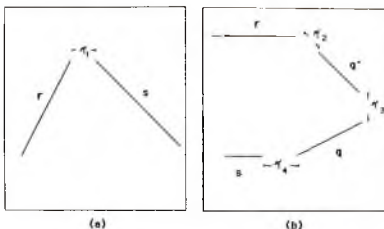


Figura 2.7: Proximidad mediata e inmediata. En (a)  $r$  y  $s$  tienen proximidad inmediata. En (b)  $r$  y  $s$  tienen proximidad mediata, ya que no tienen proximidad inmediata pero existe un  $q$  tal que tiene proximidad inmediata con  $s$  y ofrece proximidad mediata por intermedio de  $q'$  con  $r$ . En la figura se cumple que  $\forall_i \gamma_i \leq \gamma$ ; donde  $\gamma$  es un valor real.

decenas de *circuitos*; idealmente, los *circuitos* representan estructuras independientes y es posible describir la escena en base a la relación de los *circuitos* que la forman.

**Algoritmo:** Cálculo de la correspondencia entre grupos de segmentos de curva.

**Entradas:** Los conjuntos  $T_1$  y  $T_2$ , el conjunto de *circuitos* de la imagen 1 y 2 con elementos  $t_{1,i}$  y  $t_{2,i}$ , respectivamente..

**Salidas:** El conjunto  $M$  de correspondencias entre grupos de curvas.

**PROCEDURE** PosEmpate;

**VAR**  $i, j, m, n$ :**INTEGER**;

**BEGIN**

**FOR**  $i:=1$  **TO** numero de *circuitos* en  $T_1$

    Selecciona el *circuito*- $i$  de  $T_1$ ,  $t_{1,i}$

**FOR**  $j:=1$  **TO** numero de curvas para obtener descriptores

      Seleccionar el siguiente conjunto de  $j$ -curvas del *circuito*  $t_{1,i}$

```

Calcular el valor de los descriptores del grupo-j
FOR m:=1 TO numero de circuitos en  $T_2$ 
  Selecciona el circuito-m de  $T_2$ ,  $t_{2,m}$ 
  FOR n:=1 TO numero de curvas para obtener descriptores
    Seleccionar el siguiente conjunto de n-curvas del circuito  $t_{2,m}$ 
    Calcular el valor de los descriptores del grupo-n
    IF el predicado  $R = VERDADERO$  y
      lo hace mejor que una correspondencia anterior THEN
      Eliminar la anterior correspondencia de  $M$  que incluyera
      alguna de las curvas actuales y
      agregar la actual correspondencia.
    END
  END
END
END
END
END
END PosEmpate;

```

**Observaciones:** El número de curvas para obtener descriptores, se refiere al número máximo de curvas que esperamos unir. La selección del conjunto de curvas de un *circuito* toma en cuenta solo los segmentos de curva con proximidad inmediata, esto con el fin de disminuir la complejidad del algoritmo. El valor de los descriptores se calcula considerando que el grupo de curvas forma una curva nueva.

## Capítulo 3

# Resultados experimentales.

Con la teoría y algoritmos presentados en el capítulo anterior fueron desarrollados una serie de programas para computadora. Se dispuso para tal efecto de una computadora Macintosh IIx equipado con una tarjeta para la digitalización de imágenes marca Neotech; dicha tarjeta genera una imagen de 768 columnas por 512 hileras en hasta 256 niveles de gris. Los programas fueron desarrollados en lenguaje C, pues la versión de MPW (*Macintosh Programming Workshop*) cuenta con un excelente rastreador de errores (*debugger*) que facilita la programación.

Los cálculos de profundidad son presentados como tablas de datos en los que aparece la profundidad del centroide; pues por el momento no contamos con un medio de presentación conveniente para la observación por parte de las personas. Las representaciones de estructuras tridimensionales, requieren la construcción de procesos de interpolación de superficies, lo cual requiere una solución al problema de la segmentación de objetos. Creemos que esos son problemas interesantes que merecen atención por derecho propio y no hemos propuesto una solución para ellos en este escrito.

### 3.1 La tasa.

#### 3.1.1 Imágenes originales.

La Fig. 3.1 presenta las imágenes originales de una tasa. Las imágenes de la tasa fueron las únicas, en esta serie de experimentos, en las que la cámara



Figura 3.1: Imágenes originales de la tasa.



Figura 3.2: Imágenes gradiente de la tasa.

fué calibrada. La profundidad medida desde el centro del lente hasta la base donde se apoyo la tasa fué de 60 cm, la separación entre las dos imágenes fué de 4cm y la distancia del lente al plano imagen fué de 80mm.

### 3.1.2 Imagen gradiente.

La Fig. 3.2 presenta las imágenes gradientes obtenidas de la Fig. 3.1. Las imágenes en la Fig. 3.1 fueron tratadas para binarizar en OBJETO y FONDO mediante la manipulación de su histograma. El nivel de gris establecido para el filtro gradiente fué de 20.



Figura 3.3: Adelgazamiento de líneas de la tasa.



Figura 3.4: Extracción de contornos de la tasa.

### 3.1.3 Adelgazamiento de líneas.

La Fig. 3.3 presenta el resultado de aplicar el algoritmo de adelgazamiento de líneas a las imágenes de la Fig. 3.2. El resultado obtenido son líneas con grosor de un solo pixel (*esqueleto unitario*).

### 3.1.4 Extracción de contornos.

La Fig. 3.4 presenta el resultado de aplicar el algoritmo de extracción de contornos a las imágenes de la Fig. 3.3. La condición de continuidad se cumple siempre y cuando no existan dos segmentos de recta cuya diferencia de pendiente sea mayor a 30 grados.

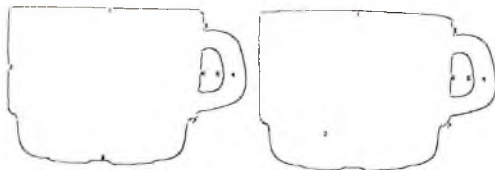


Figura 3.5: Etiquetación de las curvas extraídas a las imágenes de la tasa.

En la Fig. 3.5 se etiquetan las curvas de las imágenes de la Fig. 3.4. Varias observaciones se desprenden:

- La aplicación de la definición 2.1, que hacía referencia a las características de continuidad de los segmentos de curva que deseábamos extraer, es mantenida.
- La curva 2 de la imagen derecha de la Fig. 3.4 es más larga de lo que podíamos esperar. Esto se debe a qué, a lo largo del segmento de curva, no se presentaron dos segmentos de recta cuya diferencia de pendiente fuera mayor al permitido.

Las tablas 3.1 presentan los descriptores de cada uno de los segmentos de curva registrados en la Fig. 3.5. La longitud de cada segmento debe ser multiplicada por 5 para obtener el valor en pixeles. La dirección está expresada en radianes y el resto de las coordenadas toma como origen la esquina superior izquierda de la imagen, con direcciones positivas hacia la derecha y hacia abajo.

### 3.1.5 Apareamiento

Los segmentos de curva que aparecen en las tablas 3.1 fueron sometidas al proceso de apareamiento. Los resultados de la primera etapa aparecen en la tabla 3.2; en la primera columna aparece la etiqueta del segmento de curva

Tabla 3.1: Descriptores de los segmentos de curva extraídos de la tasa.

curva	segmento	direccion		coordenada		segmento		total	
		x	y	x	y	x	y	x	y
1	06	1.000197	260.50	1.0147	277	2.1149	537	3.1299	814
2	08	1.119199	219.47	1.0230	233	2.1462	466	4.2955	701
3	4	1.118927	267.90	48.93	562	49.05	618	98.98	1180
4	05	1.000023	811.88	1.0146	828	2.1147	1649	4.2294	3298
5	25	1.118919	264.79	1.0229	263	2.1461	566	4.2954	700
6	07	1.000199	261.47	1.0147	277	2.1149	537	4.2299	814
7	3	2.01191	119.90	210.44	539	211	658	412	1216
8	23	1.118923	263.88	48.93	562	49.05	618	98.98	1180

curva	segmento	direccion		coordenada		segmento		total	
		x	y	x	y	x	y	x	y
1	06	1.000197	260.50	1.0147	277	2.1149	537	4.2299	814
2	08	1.119199	219.47	1.0230	233	2.1462	466	4.2955	701
3	4	1.118927	267.90	48.93	562	49.05	618	98.98	1180
4	05	1.000023	811.88	1.0146	828	2.1147	1649	4.2294	3298
5	25	1.118919	264.79	1.0229	263	2.1461	566	4.2954	700
6	07	1.000199	261.47	1.0147	277	2.1149	537	4.2299	814
7	3	2.01191	119.90	210.44	539	211	658	412	1216
8	23	1.118923	263.88	48.93	562	49.05	618	98.98	1180

Tabla 3.2: Resultados del apareamiento de las curvas en las imágenes de la tasa. Primera etapa.

curva	apareada	profundidad
1	1	54.599407
3	3	54.437870
4	4	54.872761
5	5	55.073330
6	6	55.089821

de la imagen 1, en la segunda la etiqueta del segmento de curva de la segunda imagen y en la tercera columna la profundidad, que se expresa en centímetros.

Los resultados de la segunda etapa, consistente en aparear grupos de segmentos de curva aparecen en la tabla 3.3. La primera columna tiene las etiquetas de los segmentos de curva de la primera imagen y la segunda columna los de la segunda imagen.

Todas las correspondencias son correctas y la profundidad calculada de los centroides concuerda con los resultados esperados. La curva número 7 de la primera imagen no logró aparearse con la 7 de la segunda imagen ya que la diferencia entre el promedio de la dirección entre las dos era muy grande.

Tabla 3.3: Resultados del apareamiento de las curvas en las imágenes de la tasa. Segunda etapa.

grupo #1	grupo #2
2, 8	2



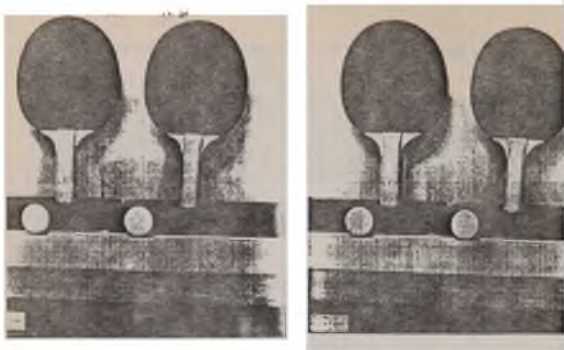


Figura 3.6: Imágenes originales de las raquetas.

## 3.2 Las raquetas de ping-pong.

### 3.2.1 Imágenes originales.

La Fig. 3.6 presenta las imágenes originales de unas raquetas y unas pelotas de ping-pong. Las imágenes del equipo de ping-pong no fueron calibradas por lo cual la información de profundidad obtenida no tiene ningún significado físico.

### 3.2.2 Imagen gradiente.

La Fig. 3.7 presenta las imágenes gradientes obtenidas de la Fig. 3.6. El nivel de gris establecido para binarizar la imagen fue de 20. Varias observaciones se desprenden:

- En los mangos de las raquetas se observa una zona de mucho ruido.

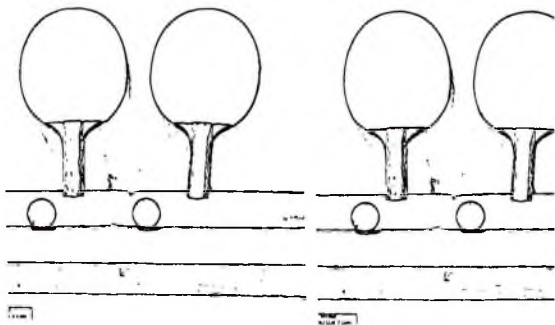


Figura 3.7: Imágenes gradiente de las raquetas.

- Algunas proyecciones de las sombras de las raquetas han pasado como parte de los contornos de los objetos.
- La sombra que reflejan las pelotas de ping-pong han pasado como parte del contorno.

### 3.2.3 Adelgazamiento de líneas.

La Fig. 3.8 presenta el resultado de aplicar el algoritmo de adelgazamiento de líneas a la Fig. 3.7. El resultado obtenido son líneas con grosor de un pixel (*esqueleto unitario*).

### 3.2.4 Extracción de contornos.

La Fig. 3.9 presenta el resultado de aplicar el algoritmo de extracción de contornos a la Fig. 3.8. La condición de continuidad se cumple siempre y

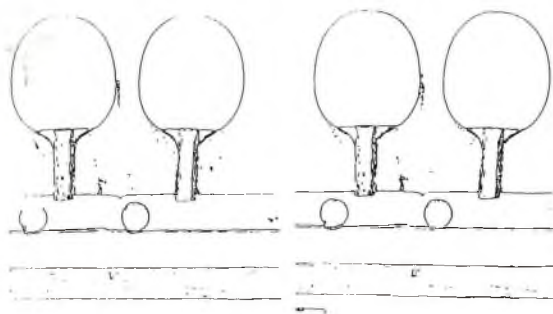


Figura 3.8: Adelgazamiento de líneas a las imágenes de las raquetas.

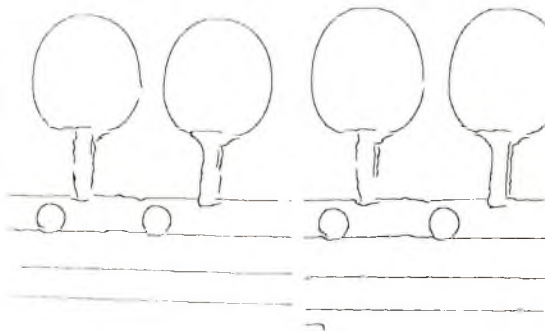


Figura 3.9: Extracción de contornos a las imágenes de las raquetas.

cuando no existan dos segmentos de recta cuya diferencia de pendiente sea mayor a 45 grados. En la Fig. 3.9 solo aparecen los segmentos de curva cuya longitud es mayor o igual a 25 píxeles, ello elimina bastante del ruido existente y no le resta mucha comprensibilidad a las imágenes.

En la Fig. 3.10 se etiquetan las curvas de las imágenes de la Fig. 3.9. Varias observaciones se desprenden:

- La aplicación de la definición 2.1, que hacía referencia a las características de continuidad de los segmentos de curva que deseábamos extraer, es mantenida.
- Las zonas de los mangos han sido definidas con un grado más o menos satisfactorio, considerando el ruido existente en ese lugar desde la imagen gradiente (Fig. 3.7).

El par de tablas 3.4, se presentan los descriptores de cada uno de los segmentos de curva registrados en las imágenes de la Fig. 3.10. La longitud

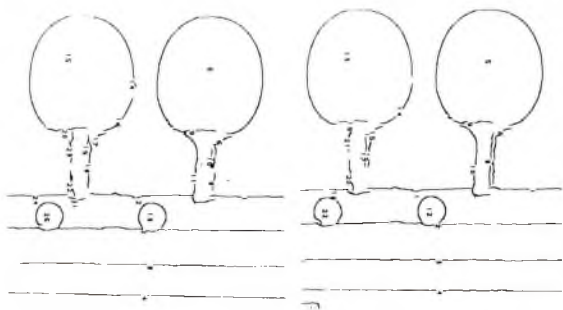


Figura 3.10: Etiquetación de las curvas extraídas a las imágenes de las raquetas.

Tabla 3.4: Descriptores de los segmentos de curva extraídos de las raquetas.

curva	longitud	amplitud	profundidad	ángulo	base			
1	25	1.591440	54.77	40.00	549	15	543	133
2	15	1.594233	57.07	33.00	610	15	500	490
3	30	1.596931	60.39	19.00	673	15	467	470
4	30	1.599629	63.70	9.00	740	15	430	430
5	27	1.602326	67.00	0.00	811	20	400	375
6	1.199418	456.33	131.18	444	180	1431	140	
7	1.602118	478.00	134.00	450	135	460	130	
8	1.199418	456.33	131.18	444	180	1431	140	
9	1.602118	478.00	134.00	450	135	460	130	
10	5	1.198272	478.00	140.00	443	140	493	144
11	2	1.198261	238.75	140.00	512	135	433	187
12	4	1.600389	541.00	140.00	569	178	337	301
13	11	1.603144	571.76	144.97	639	262	309	229
14	3	1.601974	344.00	174.00	377	376	341	272
15	13	1.603291	293.07	221.00	477	427	331	278
16	18	1.603661	207.84	166.53	513	379	429	258
17	6	1.600959	439.93	129.00	434	333	441	235
18	16	1.601647	445.12	111.67	511	333	493	348
19	6	1.142523	453.50	354.50	436	354	471	356
20	13	1.602561	413.30	306.30	514	353	436	276
21	5	1.603462	244.30	174.20	545	335	243	205
22	5	1.600964	111.11	303.44	311	303	34	278
23	10	1.604170	474.50	302.50	479	311	484	384
24	9	1.604266	470.70	443.50	430	307	370	
25	2	1.624369	160.63	178.90	546	413	346	426
26	6	1.623411	150.80	171.80	607	448	357	436

curva	longitud	amplitud	profundidad	ángulo	base			
1	30	1.606706	63.00	39.00	655	15	530	495
2	30	1.609403	66.30	25.00	720	15	500	465
3	30	1.612101	69.60	11.00	785	15	460	430
4	30	1.614798	72.90	1.00	850	15	420	400
5	36	1.617496	76.17	0.00	914	20	400	375
6	3	1.225030	430.00	143.00	492	159	444	131
7	23	1.606760	444.00	140.13	444	115	424	143
8	11	1.617283	342.00	166.20	437	146	377	183
9	13	1.617000	419.07	165.00	429	160	410	280
10	36	1.217230	490.00	163.00	542	146	425	219
11	33	1.601720	430.00	160.00	530	300	356	362
12	22	1.416247	519.77	203.00	546	267	340	260
13	46	1.537247	385.41	164.00	434	420	336	269
14	16	0.606760	369.42	211.70	264	297	410	264
15	9	1.117658	427.83	164.50	425	164	426	364
16	9	1.754143	443.90	193.00	420	314	444	317
17	9	0.399180	445.40	200.11	437	340	467	367
18	24	1.611788	326.00	431.83	536	313	334	464
19	9	1.601720	430.00	160.00	437	378	411	420
20	10	1.425643	506.50	406.10	475	409	420	404
21	8	1.254710	430.00	407.00	410	404	440	409
22	23	1.606849	516.13	448.00	543	434	344	423
23	18	1.603220	370.00	413.00	430	406	431	467

de cada segmento debe ser multiplicada por 5 para obtener el valor en píxeles. La dirección está expresada en radianes y el resto de las coordenadas toma como origen la esquina superior izquierda de la imagen, con direcciones positivas hacia la derecha y hacia abajo.

### 3.2.5 Apareamiento.

Los segmentos de curva que aparecen en el par de tablas 3.4 fueron sometidas al proceso de correspondencia. Los resultados de la primera etapa aparecen en la tabla 3.5; en la primera columna aparece la etiqueta del segmento de curva de la imagen 1, en la segunda la etiqueta del segmento de curva de la segunda imagen y en la tercera la profundidad, que no expresa medidas reales. Los renglones con asterisco(\*) en la columna de comentario indican una correspondencia incorrecto.

A partir de los resultados de la tabla 3.5, podemos decir que el apareamiento fue razonablemente bueno. El apareamiento del segmento de curva 7 de la primera imagen con la 18 de la segunda y el de la 16 de la primera con el 23 de la segunda demuestran que nuestro concepto de *circuito* si no malo si es por lo menos incompleto. Visualmente, podíamos haber esperado que

Tabla 3.5: Resultados de la correspondencia en las raquetas. Primera etapa.

curva	aproxima	precisión	complejidad
2	2	98.86	
3	2	97.00	
4	4	98.11	
5	5	97.73	
6	6	97.79	
7	8	88.88	*
8	9	88.79	*
10	11	96.78	
11	12	97.78	
12	13	97.80	
13	15	97.80	
14	16	97.77	
15	17	97.80	
18	21	88.88	*
22	23	94.88	

Tabla 3.6: Resultados de la correspondencia en las raquetas. Segunda etapa.

grupo #1	grupo #2
21, 24	18

el segmento 19 de la primera imagen corresponderá con la 20 de la segunda, pero al observar sus datos observamos que los umbrales de aceptación para la longitud no se alcanzaron.

Los resultados de la segunda etapa, consistente en buscar correspondencia entre los grupos de segmentos de curva aparecen en la tabla 3.6. La primera columna tiene las etiquetas de los segmentos de curva de la primera imagen y la segunda columna los de la segunda imagen.

Se encontró una gran cantidad de curvas que correspondieron aunque se hicieron algunos errores. Las curvas 7 y 8 de la primera imagen no formaron par con la 7 de la segunda, en la segunda etapa del algoritmo ya que la curva 7 de la segunda y la 7 de la segunda imagen había encontrado correspondencia. En los casos de las otras curvas las diferencias entre los descriptores justifican su soltería.

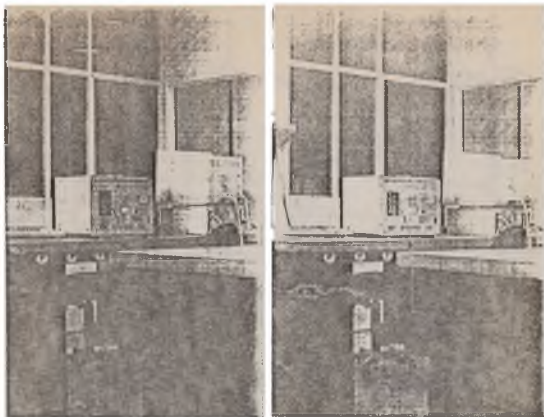


Figura 3.11: Imágenes originales del laboratorio.

### 3.3 El laboratorio.

#### 3.3.1 Imágenes originales.

La Fig. 3.11 presenta las imágenes originales de una parte del Laboratorio de Procesamiento de Imágenes en la E.N.S.T de Bretagne. Las imágenes del laboratorio no fueron calibradas por lo cual la información de profundidad obtenida no tiene ningún significado físico.

#### 3.3.2 Imagen gradiente.

La Fig. 3.12 presenta las imágenes gradiente obtenidas de las imágenes de la Fig. 3.11. El nivel de gris establecido para binarizar la imagen fue de 20.



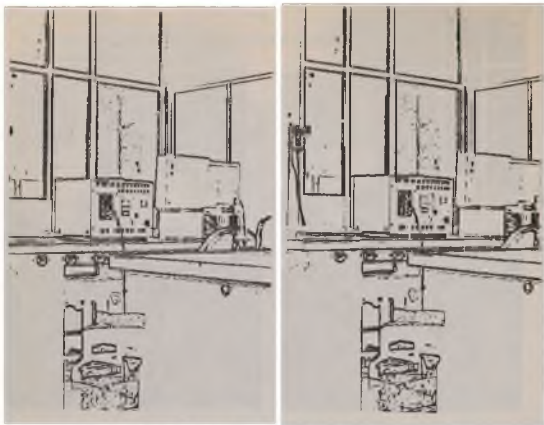


Figura 3.12: Imágenes gradiente del laboratorio (1).

Algunas observaciones se desprenden:

- Las partes traseras de la computadora y del monitor a la izquierda son zonas de alto detalle que no han sido muy bien definidas por el operador gradiente.
- Algunas partes, como el marco de la puerta, la computadora y las sillas presentan zonas de bajo contraste que no han sido muy bien definidas por el operador gradiente.

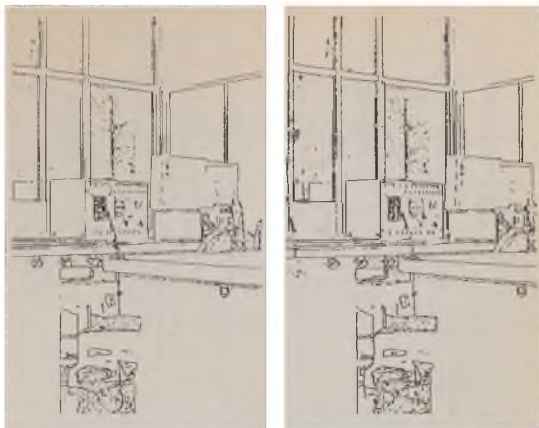


Figura 3.13: Adelgazamiento de líneas a las imágenes del laboratorio.

### 3.3.3 Adelgazamiento de líneas.

La Fig. 3.13 presenta el resultado de aplicar el algoritmo de adelgazamiento de líneas a las imágenes de la Fig. 3.12. El resultado obtenido son líneas con grosor de un píxel (*esqueleto unitario*).

### 3.3.4 Extracción de contornos.

La Fig. 3.14 presenta el resultado de aplicar el algoritmo de extracción de contornos a las imágenes de la Fig. 3.13. La condición de continuidad se cumple siempre y cuando no existan dos segmentos de recta cuya diferencia de pendiente sea mayor a 45 grados. En las imágenes de la Fig. 3.14 solo aparecen los segmentos de curva cuya longitud es mayor o igual a 25 píxeles,

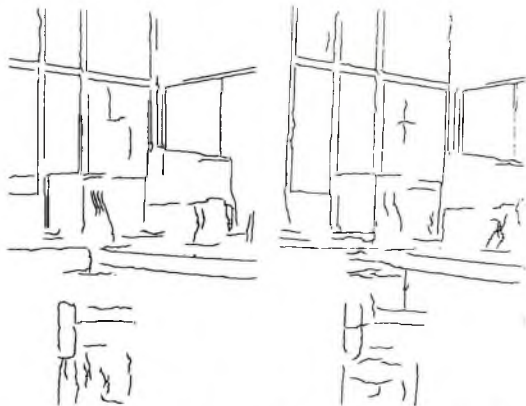


Figura 3.14: Extracción de contornos a las imágenes del laboratorio.

ello elimina bastante del ruido existente aunque le resta algo de comprensibilidad a la imagen.

En las imágenes de la Fig. 3.15 se etiquetan las curvas de las imágenes de la Fig. 3.14.

En las tablas 3.7 se presentan los descriptores de cada uno de los segmentos de curva registrados en la Fig. 3.15. La longitud de cada segmento debe ser multiplicada por 5 para obtener el valor en píxeles. La dirección está expresada en radianes y el resto de las coordenadas toma como origen la esquina superior izquierda de la imagen, con direcciones positivas hacia la derecha y hacia abajo.



Figura 3.15: Etiquetación de las curvas extraídas de las imágenes del laboratorio.

Tabla 3.7: Descriptores de los segmentos de curva extraídos del laboratorio.

curva	log(x)	descrip.	centrada	origen	total
1	0	0.00000	0.00000	0.00000	0.00000
2	1	0.00000	0.00000	0.00000	0.00000
3	2	0.00000	0.00000	0.00000	0.00000
4	3	0.00000	0.00000	0.00000	0.00000
5	4	0.00000	0.00000	0.00000	0.00000
6	5	0.00000	0.00000	0.00000	0.00000
7	6	0.00000	0.00000	0.00000	0.00000
8	7	0.00000	0.00000	0.00000	0.00000
9	8	0.00000	0.00000	0.00000	0.00000
10	9	0.00000	0.00000	0.00000	0.00000
11	10	0.00000	0.00000	0.00000	0.00000
12	11	0.00000	0.00000	0.00000	0.00000
13	12	0.00000	0.00000	0.00000	0.00000
14	13	0.00000	0.00000	0.00000	0.00000
15	14	0.00000	0.00000	0.00000	0.00000
16	15	0.00000	0.00000	0.00000	0.00000
17	16	0.00000	0.00000	0.00000	0.00000
18	17	0.00000	0.00000	0.00000	0.00000
19	18	0.00000	0.00000	0.00000	0.00000
20	19	0.00000	0.00000	0.00000	0.00000
21	20	0.00000	0.00000	0.00000	0.00000
22	21	0.00000	0.00000	0.00000	0.00000
23	22	0.00000	0.00000	0.00000	0.00000
24	23	0.00000	0.00000	0.00000	0.00000
25	24	0.00000	0.00000	0.00000	0.00000
26	25	0.00000	0.00000	0.00000	0.00000
27	26	0.00000	0.00000	0.00000	0.00000
28	27	0.00000	0.00000	0.00000	0.00000
29	28	0.00000	0.00000	0.00000	0.00000
30	29	0.00000	0.00000	0.00000	0.00000
31	30	0.00000	0.00000	0.00000	0.00000
32	31	0.00000	0.00000	0.00000	0.00000
33	32	0.00000	0.00000	0.00000	0.00000
34	33	0.00000	0.00000	0.00000	0.00000
35	34	0.00000	0.00000	0.00000	0.00000
36	35	0.00000	0.00000	0.00000	0.00000
37	36	0.00000	0.00000	0.00000	0.00000
38	37	0.00000	0.00000	0.00000	0.00000
39	38	0.00000	0.00000	0.00000	0.00000
40	39	0.00000	0.00000	0.00000	0.00000
41	40	0.00000	0.00000	0.00000	0.00000
42	41	0.00000	0.00000	0.00000	0.00000
43	42	0.00000	0.00000	0.00000	0.00000
44	43	0.00000	0.00000	0.00000	0.00000
45	44	0.00000	0.00000	0.00000	0.00000
46	45	0.00000	0.00000	0.00000	0.00000
47	46	0.00000	0.00000	0.00000	0.00000
48	47	0.00000	0.00000	0.00000	0.00000
49	48	0.00000	0.00000	0.00000	0.00000
50	49	0.00000	0.00000	0.00000	0.00000
51	50	0.00000	0.00000	0.00000	0.00000
52	51	0.00000	0.00000	0.00000	0.00000
53	52	0.00000	0.00000	0.00000	0.00000
54	53	0.00000	0.00000	0.00000	0.00000
55	54	0.00000	0.00000	0.00000	0.00000
56	55	0.00000	0.00000	0.00000	0.00000
57	56	0.00000	0.00000	0.00000	0.00000
58	57	0.00000	0.00000	0.00000	0.00000
59	58	0.00000	0.00000	0.00000	0.00000
60	59	0.00000	0.00000	0.00000	0.00000
61	60	0.00000	0.00000	0.00000	0.00000
62	61	0.00000	0.00000	0.00000	0.00000
63	62	0.00000	0.00000	0.00000	0.00000
64	63	0.00000	0.00000	0.00000	0.00000
65	64	0.00000	0.00000	0.00000	0.00000
66	65	0.00000	0.00000	0.00000	0.00000
67	66	0.00000	0.00000	0.00000	0.00000
68	67	0.00000	0.00000	0.00000	0.00000
69	68	0.00000	0.00000	0.00000	0.00000
70	69	0.00000	0.00000	0.00000	0.00000
71	70	0.00000	0.00000	0.00000	0.00000
72	71	0.00000	0.00000	0.00000	0.00000
73	72	0.00000	0.00000	0.00000	0.00000
74	73	0.00000	0.00000	0.00000	0.00000
75	74	0.00000	0.00000	0.00000	0.00000
76	75	0.00000	0.00000	0.00000	0.00000
77	76	0.00000	0.00000	0.00000	0.00000
78	77	0.00000	0.00000	0.00000	0.00000
79	78	0.00000	0.00000	0.00000	0.00000
80	79	0.00000	0.00000	0.00000	0.00000
81	80	0.00000	0.00000	0.00000	0.00000
82	81	0.00000	0.00000	0.00000	0.00000
83	82	0.00000	0.00000	0.00000	0.00000
84	83	0.00000	0.00000	0.00000	0.00000
85	84	0.00000	0.00000	0.00000	0.00000
86	85	0.00000	0.00000	0.00000	0.00000
87	86	0.00000	0.00000	0.00000	0.00000
88	87	0.00000	0.00000	0.00000	0.00000
89	88	0.00000	0.00000	0.00000	0.00000
90	89	0.00000	0.00000	0.00000	0.00000
91	90	0.00000	0.00000	0.00000	0.00000
92	91	0.00000	0.00000	0.00000	0.00000
93	92	0.00000	0.00000	0.00000	0.00000
94	93	0.00000	0.00000	0.00000	0.00000
95	94	0.00000	0.00000	0.00000	0.00000
96	95	0.00000	0.00000	0.00000	0.00000
97	96	0.00000	0.00000	0.00000	0.00000
98	97	0.00000	0.00000	0.00000	0.00000
99	98	0.00000	0.00000	0.00000	0.00000
100	99	0.00000	0.00000	0.00000	0.00000

### 3.3.5 Apareamiento.

Los segmentos de curva que aparecen en la tabla 3.7 fueron sometidas al proceso de correspondencia. Los resultados de la primera etapa aparecen en las tablas 3.8; en la primera columna aparece la etiqueta del segmento de curva de la primera imagen, en la segunda columna, la etiqueta del segmento de curva de la segunda imagen y en la tercera la profundidad, que no expresa las medidas reales.

La segunda etapa no se ejecutó, ya que se consideró que el número de correspondencias sería mínimo en comparación del esfuerzo computacional.

Tabla 3.8: Resultados de la correspondencia en el laboratorio. Primera etapa.

correspondencia	valor	valor	valor
1	21	25,71	
1	22	219,44	*
2	9	669,00	
3	25	275,95	*
3	1	224,39	
4	4	91,73	
4	5	343,58	
5	12	218,47	
6	29	311,90	*
7	41	44,85	*
8	16	225,89	
9	17	249,19	
10	26	317,76	*
11	18	214,62	
12	42	19,31	*
13	19	259,43	
14	23	243,89	*
15	28	241,47	
16	23	212,21	
17	24	262,87	
18	27	274,43	
19	32	214,42	*
20	31	189,65	
21	30	361,45	*
22	20	264,54	
23	33	438,59	
24	36	336,13	
25	43	227,16	
26	47	1417,50	*
27	45	232,10	
28	29	49,15	*
29	46	269,26	
30	58	1947,80	*
31	10	401,39	*
32	34	267,41	
33	35	248,85	
34	39	149,66	
35	40	204,15	
36	44	137,87	*
37	38	132,48	*
38	36	302,65	
39	43	224,13	
40	47	242,19	
41	48	289,19	
42	71	249,15	
43	43	148,33	*
44	75	241,13	
45	77	281,19	
46	16	241,34	
47	28	318,89	*

# Capítulo 4

## Conclusiones.

En este trabajo presentamos los fundamentos, la construcción y la experimentación de un modelo de estereovisión para encontrar la correspondencia entre segmentos de curva utilizando descriptores como primitiva. En el modelo propuesto no se incluyó la solución al problema de la reconstrucción tridimensional.

En la primera parte del reporte se pretendió dar una panorámica global del área de estereovisión; ésto incluyó los modelos geométricos utilizados, la caracterización de imágenes y los trabajos en los que se fundó nuestro modelo fueron presentados. En la segunda parte el modelo propuesto fue desarrollado. En la tercera parte aparecieron los resultados de la experimentación con el modelo de correspondencia. Se ha agregado un apéndice que contiene la documentación de los programas para computadora escritos.

Como resultado de este trabajo podemos concluir los siguientes logros:

- El modelo fue probado en una amplia variedad de ambientes, algunos de los cuales se presentaron en la etapa de experimentación, y en todos ellos presentó algún tipo de éxito.
- Para encontrar la correspondencia se utilizan como primitivas segmentos de curva. Lo cual le permite elevar el nivel de abstracción al cual se manejan las correspondencias (en comparación con la elección de líneas rectas o puntos) y reducir los tiempos de procesamiento.
- En cuanto los contornos están bien definidos y no existe mucho detalle en la escena, los resultados del modelo son buenos.



El modelo desarrollado presentó las siguientes características negativas:

- Las zonas de alto detalle no son bien trabajadas.
- La segunda etapa del proceso de correspondencia resulta bastante cara en términos de tiempo de procesamiento y obtiene resultados que no se comparan, en términos de efectividad, con este costo.
- El modelo ha demostrado ser bastante sensible al ruido y a los efectos del detector de contornos. Pero este problema puede ser manejado en la etapa de preproceso y no necesariamente significa un defecto del modelo propuesto.
- No se manejan oclusiones de partes de la escena ni ocultaciones de unos objetos tras de otros.

El modelo desarrollado puede ser mejorado en los siguientes aspectos:

- La construcción de un modelo de representación tridimensional de superficies.
- La utilización de otro tipo de detector de contornos tal como el operador de Canny.
- Una descripción más completa de las relaciones estructurales en la escena. Crémos que pueden crearse relaciones que integren los segmentos de curva en objetos en base a su relación espacial en la imagen; es decir declarar cuales segmentos de curva se encuentran arriba, abajo, a la izquierda o derecha de otra. Esto permitiría efectuar la correspondencia de manera menos cuantitativa y más cualitativa. Es decir, los procesos encaminados a reconocer la estructura tridimensional en una escena no permiten información incompleta; sin embargo se puede ir generando conocimiento adicional en la medida que avanzamos hacia el resultado final.
- Con el fin de generar un sistema de visión por computadora es conveniente integrar toda la información disponible en las imágenes, tal como las texturas, el flujo óptico, el movimiento, etc. Esto modelizaría con mayor fidelidad el desempeño de los ojos humanos, en donde parece ser, se ejecutan varios procesos en paralelo y varios resultados son obtenidos al mismo tiempo.

# Apéndice A

## La programación del modelo.

Se presentan el conjunto de programas utilizados para experimentar con el modelo de estereoscopia desarrollado en la primera parte de este documento. Los programas en lenguaje C que siguen están diseñados para facilitar la experimentación paso a paso, la verificación de resultados y la incorporación de nuevas ideas. No se pensó en ellos como un producto para un grupo de usuarios sino como una herramienta en la búsqueda de un resultado.

Un programa para computadora tiene una complejidad inherente que no puede ser reducido de un cierto nivel de dificultad. El propósito de esta parte del documento, es presentar los algoritmos utilizados de la manera más clara posible, de tal manera que se refleje como las distintas partes del programa se van uniendo y proporcionar las referencias cruzadas que conectan esas partes.

Utilizaremos las ideas de Donald E. Knuth [12] para documentar los programas. Los programas consisten de secciones numeradas: primero viene §1, después §2, y así en adelante. Se espera que cada sección esté diseñada para entenderse por si misma. Las referencias cruzadas indican como cada sección se relaciona con otras. De esta manera un programa puede ser visto como una red que consiste de pequeños nodos y conexiones entre nodos. El todo puede ser entendido comprendiendo cada una de las partes y la relación entre las partes.

Cada sección comienza con un comentario acerca del propósito de la sección o de alguna parte remarcable del programa. La sección termina con código de un programa en C. En medio de ellas pueden existir o no, una o más macro-definiciones. Es decir, cada sección tiene tres partes:

- Comentarios,
- Macro-Definiciones y
- Código de lenguaje C.

Las secciones son *nombradas* o *no nombradas*. El código en C en una sección nombrada comienza con "<Nombre de la sección>≡" y seguirá una porción de código que reemplazará su llamada. En el caso de una sección no nombrada, solo se presentará el código de lenguaje C.

En ocasiones, una sección nombrada es dividida; es el caso de las variables, constantes, y estructuras de datos, las cuales son presentadas en el momento que creemos más oportuno.<sup>1</sup> Después de la primera, estas secciones aparecerán con la forma: "<Nombre de la sección>+ ≡", lo cual indica que su contenido debe ser pegado a la primera sección.

Para facilitar la lectura del código, se han tomado algunas convenciones. Las palabras reservadas como **for**, **while**, así como los procedimientos incluidos en la librería estandar como **fprintf**, **fclose**, aparecerán en **negritas**; los identificadores aparecerán en *itálicas* y los nombres de procedimientos en letra normal. Igualmente, algunos símbolos han sido reemplazados:

símbolo:	sustituye a:
←	=
≡	≡≡
≤	<=
≥	>=
≠	!=
∧	&&
∨	
→	!

Igualmente, algunas funciones como la raíz cuadrada, ha sido sustituida por el símbolo matemático  $\sqrt{\quad}$ ; el símbolo \* ha sido sustituido por  $\times$  cuando se refiere a una multiplicación y algunas operaciones del lenguaje C estandar como  $i + +$ , han sido sustituidas por  $i \leftarrow i + 1$ .

## A.1 Almacena imagen.

El programa **AlmacenaImagen** permite almacenar la porción de memoria principal, que corresponde a la imagen digital, en la memoria secundaria de la computadora. Con el fin de aprovechar el equipo computacional existente, la imagen se almacena en la memoria incorporada a la carta de adquisición de imágenes; ésto vuelve al programa dependiente del equipo, pero las imágenes son lo suficientemente grandes (768 columnas por 512 hileras) como para justificar la decisión. Como atenuante, podemos agregar que si la memoria del ordenador es lo suficientemente grande como para reservar un espacio de memoria de 384k palabras, sin problema, los cambios al programa son mínimos.

1. La descripción comienza mostrando las porciones principales de un programa en lenguaje C, cuyas componentes serán llenadas después. Por ejemplo, la porción del programa llamada <Las constantes 3> será reemplazada por una secuencia de declaración de constantes que comienza en §3.

<Los archivos que se preprocesan 2>

<Las constantes 3>

<Las variables globales 4>

<Rutina "SaveMemory" 5>

<Rutina "main" 6>

2. Las rutinas para el manejo de la carta de adquisición de imágenes se encuentran en la librería "igselib.h". Rutinas tales como inicializar la carta de adquisición, digitalizar una imagen, escribir un punto en la memoria, leer un punto de la memoria, etc. En esta serie de programas solo se utiliza la rutina que nos indica la dirección de memoria en donde se encuentra la carta de adquisición de imágenes. Todas las rutinas que pudieran estar relacionadas con la tarjeta se hicieron siguiendo el manejo estandar de apuntadores que permite el lenguaje C.

El archivo "stdio.h" contiene las rutinas de entrada y salida estandar en el lenguaje C. Para mayor información consultar la documentación del lenguaje.

<Los archivos que se preprocesan 2>≡

```
#include "igselib.h"
```

```
#include "stdio.h"
```

3. La imagen digital que maneja la carta de adquisición tiene dimensiones de 768 columnas × 512 hileras. Cada pixel está representado por 8 bits, es decir tenemos 256 diferentes niveles de gris.

<Las constantes 3>≡

```
#define numColumnas (768)
```

```
#define numHileras (512)
```

4. La variable *screen* es la dirección de memoria en donde comienza el almacenamiento de la imagen.

<Las variables globales 4>≡

```
Byte screen;
```

5. Esta rutina recupera los datos de la memoria principal y los almacena en un archivo.

<Rutina "SaveMemory" 5>≡

```
void saveImage(name)
```

```
char *name;
```

```
{
```

```
Byte *s,*r;
```

```
int j;
```

```
FILE *f;
```

```
    f← fopen(name, "w");
```

```
    s← screen; j← 0;
```

```
    while(j≤ numColumnas-1) {
```

```
        r← s;
```

```
        fwrite(r,numHileras+1,1,f);
```

```
        s ← s + numColumnas; j ← j + 1;
```

```
    }
```

```
    fclose(f);
```

```
}
```

`numColumnas`: constante, §3    `numFilas`: constante, §3    `screen`: variable, §4

6. El programa principal hace uso de la rutina “addressVideoCard”, definida en la librería “igselib.h” (ver §2), que nos indica la posición en memoria en donde se encuentra la imagen. La rutina pregunta el nombre que se le dará al archivo de salida.

<Rutina “main” 6>≡

```
main() {
char *name;
char buffer[20];
    addressVideoCard(& screen);
    name ← gets(& buffer);
    saveImage(buffer);
}
```

`saveImage`: procedimiento, §5    `screen`: variable, §4

## A.2 Recupera imagen.

El programa `recuperaImagen` permite colocar, una imagen digital almacenada en un archivo, en la memoria principal del ordenador. Con el fin de aprovechar el equipo computacional existente, la imagen se almacena en el área reservada por la carta de adquisición de imágenes; ésto vuelve al programa dependiente del equipo, pero las imágenes son lo suficientemente grandes (768 columnas por 512 hileras) como para justificar la decisión. Como atenuante, podemos agregar que si la memoria del ordenador es lo suficientemente grande como para reservar un espacio de 384k palabras, sin problema, los cambios al programa son mínimos.

1. La descripción comienza mostrando las porciones principales de un programa en lenguaje C, cuyas componentes serán llenadas después. Por ejemplo, la porción del programa llamada <Las constantes 3> será reemplazada por una secuencia de declaraciones de constantes que comienza en §3.

<Los archivos que se preprocesan 2>

```
<Las constantes 3>
<Las variables globales 4>
<Rutina "retrieveMemory" 5>
<Rutina "main" 6>
```

- Las rutinas para el manejo de la carta de adquisición de imágenes se encuentran en la librería "igslib.h". Rutinas tales como inicializar la carta de adquisición, digitalizar una imagen, escribir un punto en la memoria, leer un punto de la memoria, etc. En esta serie de programas solo se utiliza la rutina que nos indica la dirección de memoria en donde se encuentra la carta de adquisición de imágenes. Todas las rutinas que pudieran estar relacionadas con la tarjeta se hicieron siguiendo el manejo estandar de apuntadores que permite el lenguaje C.

El archivo "stdio.h" contiene las rutinas de entrada y salida estandar en el lenguaje C. Para mayor información consultar la documentación del lenguaje.

```
<Los archivos que se preprocesan 2>≡
#include "igslib.h"
#include "stdio.h"
```

- La imagen digital que maneja la carta de adquisición tiene dimensiones de 768 columnas × 512 hileras. Cada pixel está representado por 8 bits, es decir tenemos 256 diferentes niveles de gris.

```
<Las constantes 3>≡
#define numColumnas (768)
#define numHileras (512)
```

- La variable *screen* indica la dirección de memoria en donde comienza el almacenamiento de la imagen.

```
<Las variables globales 4>≡
Byte screen;
```

- Esta rutina recupera los datos de un archivo y los transfiere a la memoria principal de la computadora.

<Rutina "retrieveMemory" 5>≡

```
void retrieveImage(name)
char *name;
{
FILE *f;
Byte *s,*r;
int j;
    f ← fopen(name, "w");
    s ← screen;
    j ← 0;
    while (j ≤ numColumns - 1) {
        r ← s;
        fread(r,numHileras + 1,1,f);
        s ← s + numColumns;
        j ← j + 1;
    }
    fclose(f);
}
```

numColumns: constante, §3    numHileras: constante, §3    screen: variable, §4

6. El programa principal hace uso de la rutina "addressVideoCard", definida en la librería "igselib.h" (ver §2), que nos indica la posición en memoria en donde se encuentra la imagen. La rutina pregunta el nombre del archivo que contiene la imagen.

<Rutina "main" 6>≡

```
main() {
char *name;
char buffer[20];
    addressVideoCard(& screen);
    name ← gets(& buffer);
    retrieveImage(buffer);
}
```

saveImage: procedimiento, §5    screen: variable, §4



### A.3 Gradiente.

El programa **gradiente** se realizó con el fin de detectar los contornos sobre la imagen. La imagen es pasada por un filtro no-lineal que corresponde a una matriz de dimensiones  $2 \times 2$ . El filtro es conocido como "Roberts" y se define como la suma de los valores absolutos de las diferencias entre las diagonales de la matriz.

En las vecindades de los puntos del contorno, el índice de luminosidad de la luz cambia bruscamente; por ello los valores del filtro tienden a ser altos para puntos del contorno. El programa realiza una clasificación de los puntos de la imagen de acuerdo a si pertenecen o no al contorno. Una vez verificado el valor del filtro para un punto dado, se determina si pasa o no un umbral arbitrario. Si el valor del filtro pasa de un umbral, es etiquetado como CONTORNO; si nó, es etiquetado como FONDO.

El valor del umbral es empírico, y puede cambiar de imagen a imagen. Hasta donde nosotros sabemos, no existe una manera automática de determinar este valor.

1. La descripción comienza mostrando las porciones principales de un programa en lenguaje C, cuyas componentes serán llenadas después. Por ejemplo, la porción del programa llamada <Las constantes 3> será reemplazada por una secuencia de declaración de constantes que comienza en §3.

<Los archivos que se preprocesan 2>

<Las constantes 3>

<Las variables globales 5>

<Rutina "gradient" 6>

<Rutina "main" 7>

2. Las rutinas para el manejo de la carta de adquisición de imágenes se encuentran en la librería "igselib.h". Son rutinas tales como inicializar la carta de adquisición, digitalizar una imagen, escribir un punto en la memoria, leer un punto de la memoria, etc. En esta serie de programas solo se utiliza la rutina que nos indica la dirección de memoria en donde se encuentra la carta de adquisición de imágenes. Todas las rutinas

que pudieran estar relacionadas con la tarjeta se hicieron siguiendo el manejo estandar de apuntadores que permite el lenguaje C.

El archivo "stdio.h" contiene las rutinas de entrada y salida estandar en el lenguaje C. Para mayor información consultar la documentación del lenguaje. <Los archivos que se preprocesan 2>

```
#include "igselib.h"
#include "stdio.h"
```

3. La imagen digital que maneja la carta de adquisición tiene dimensiones de 768 columnas  $\times$  512 hileras.

Esta es la primera de varias secciones en donde las constantes están definidas.

```
<Las constantes 3> ≡
#define numColumnas (768)
#define numHileras (512)
```

Ver también 4.

4. El valor para *umbral* es función de la imagen que se esté procesando, hasta donde nosotros sabemos no hay manera de determinar su valor por medios automáticos.

El valor de *umbral* nos sirve para etiquetar a un punto  $p(x, y)$  de la imagen de acuerdo a dos clases, CONTORNO y FONDO, de la siguiente manera:

$$p(x, y) = \begin{cases} \text{CONTORNO} & \text{si } p(x, y) \geq \textit{umbral} \\ \text{FONDO} & \text{en otro caso.} \end{cases} \quad (\text{A.1})$$

```
<Las constantes 3> + ≡
#define umbral (15)
#define contorno (255)
#define fondo (0)
```

5. La variable *screen* indica la dirección de memoria en donde comienza la imagen.

<Las variables globales 5>≡

**Byte** screen;

6. El valor del gradiente  $f(x, y)$ , para un punto  $p(x, y)$ , se determina de acuerdo al filtro "Roberts" por:

$$f(x) = |p(x, y) - p(x + 1, y + 1)| + |p(x, y + 1) - p(x + 1, y)| \quad (A.2)$$

<Rutina "gradient" 6>≡

```
void gradient() {
int   i,j,nivel,a1,a2,a3,a4;
    for (j ← 0; j < numColumnas - 2; j ← j + 1) {
        for (i ← 0; i < numHileras - 2; i ← i + 1) {
            a1 ← *(screen + numColumnas × j + i);
            a2 ← *(screen + numColumnas × j + (i + 1));
            a3 ← *(screen + numColumnas × (j + 1) + i);
            a4 ← *(screen + numColumnas × (j + 1) + (i + 1));
            nivel ← | a1 - a4 | + | a3 - a2 |;
            if (nivel ≥ umbral) nivel ← contorno;
            else nivel ← fondo;
            *(screen + numColumnas × j + i) ← nivel;
        }
    }
}
```

numColumnas:constante, §3    numHileras:constante, §3    screen:variable, §5  
 umbral:constante, §4    contorno:constante, §4    fondo:constante, §4

7. El programa principal hace uso de la rutina `addressVideoCard`, definida en la librería "igselib.h" (ver §2), que nos indica la posición en memoria en donde se encuentra la imagen.

<Rutina "main" 7>≡

```
main() {
    addressVideoCard(&screen);
    gradient();
}
```

gradient:procedimiento, §6    screen:variable, §5

## A.4 Adelgazamiento de líneas.

El programa **AdelgazaLineas** toma como entrada la imagen resultante de la aplicación del filtro gradiente y entrega como resultado una imagen representada por su esqueleto unitario. El esqueleto unitario es una estructura formada de líneas con anchura de un solo pixel. Este algoritmo forma parte del tratamiento a las imágenes antes de la aplicación de los algoritmos de correspondencia.

El algoritmo se desarrolla en tres etapas; las dos primeras corresponden al algoritmo de Zhang-Suen y la tercera corresponde a la mejora que presentó Juan Humberto SOSSA en [10].

1. La descripción comienza mostrando las porciones principales de un programa en lenguaje C, cuyas componentes serán llenadas después. Por ejemplo, la porción del programa llamada <Constantes 3> será reemplazada por una secuencia de declaraciones de constantes que comienza en §3.

<Archivos que se preprocesan 2>

<Constantes 3>

<Variables globales 4>

<Rutina de erosión 8>

<Rutina de pos-proceso 22>

<Rutina principal 23>

2. Las rutinas para el manejo de la carta de adquisición de imágenes se encuentran en la librería "igselib.h". Son rutinas tales como inicializar la carta de adquisición, digitalizar una imagen, escribir un punto en la memoria, leer un punto en la memoria, etc. En esta serie de programas solo se utiliza la rutina que nos indica la dirección de memoria en donde se encuentra la carta de adquisición de imágenes, todas las rutinas que pudieran estar relacionadas con la tarjeta, se hicieron siguiendo el manejo estandar de apuntadores que permite el lenguaje C.

El archivo "stdio.h" contiene las rutinas de entrada y salida estandar en el lenguaje C. Para mayor información consultar la documentación del lenguaje.

<Archivos que se preprocesan 2>≡

```
#include "igselib.h"
```

```
#include "stdio.h"
```

3. La imagen digital que maneja la carta de adquisición tiene dimensiones de 768 columnas × 512 hileras.

Esta es la primera de varias secciones en donde las constantes están definidas.

<Constantes 3>≡

```
#define numColumnas (768)
```

```
#define numHileras,(512)
```

Ver también 5 y 6.

4. La variable *screen* es la dirección de memoria en donde comienza el almacenamiento de la imagen.

Esta es la primera de varias secciones en donde las variables están definidas.

<Variables globales 4>≡

```
Byte screen;
```

Ver también 7.

5. El programa *gradiente* convirtió nuestra imagen en dos clases: *CONTORNO* y *FONDO*. Esto es necesario porque el algoritmo de erosión trabaja con dos clases. El valor de *umbral* nos sirve para etiquetar a un pixel *p* de la imagen, como perteneciente a una de las dos clases de la siguiente manera:

$$p = \begin{cases} \text{CONTORNO} & \text{si } p \geq \textit{umbral} \\ \text{FONDO} & \text{si no} \end{cases} \quad (\text{A.3})$$

<Constantes 3> + ≡

```
#define umbral (100)
```

6. Al final del algoritmo de erosión, un cierto número de píxeles del borde de la imagen debe ser retirado para no interferir con el algoritmo de seguimiento de contornos. La constante *minimo* es aprovechada activamente, para no calcular operaciones en el área que de cualquier manera será removida.

```
<Constantes 3> + ≡
```

```
#define minimo (10)
```

7. El valor de la variable *exito*, representa el número de puntos que fueron erosionados en la última iteración del algoritmo.

```
<Variables globales 4> + ≡
```

```
int exito;
```

8. El algoritmo de Zhang y Suen con la mejora de Sossa aplicado sobre una imagen binaria garantiza un esqueleto unitario. El algoritmo se desarrolla en tres etapas.

```
<Rutina de erosión 8> ≡
```

```
void erosion()
```

```
{int i,j,densidad,patrones,nivel;
```

```
<Primera etapa 9>
```

```
<Segunda etapa 10>
```

```
<Tercera etapa 11>
```

```
}
```

9. La imagen entera es examinada. Para cada píxel  $P_1$  se determina si pertenece a la clase CONTORNO; si es así, el píxel  $p(x, y)$  es erosionado si su vecindad (ver Fig. 2.3) cumple con las siguientes cuatro propiedades:

**Propiedad A.** La suma de los píxeles en la vecindad de  $P_1$  que pertenecen a la clase CONTORNO es mayor que dos y menor que seis.

**Propiedad B.** El número de patrones 01 en el conjunto ordenado  $P_2, P_3, \dots, P_9$  es igual a uno.

**Propiedad C.** Alguno de los píxeles  $P_2, P_4, P_6$ , pertenece a la clase FONDO.

**Propiedad D.** Alguno de los píxeles  $P_4, P_6, P_8$ , pertenece a la clase FONDO.

<Primera etapa 9>≡

```

for (i ← minimo; i ≤ numHileras - minimo; i ← i + 1){
  for (j ← minimo; j ≤ numColumnas - minimo; j ← j + 1) {
    if ( *(screen + numColumnas × i + j) > umbral) {
      densidad ← propiedadA(j,i);
      if ((densidad ≥ 2) ∧ (densidad ≤ 6)) {
        patrones ← propiedadB(j,i);
        if (patrones = 1) {
          if ((propiedadC(j,i)=0) ∧ (propiedadD(j,i)=0)) {
            *(screen + numColumnas × i + j) ← 0;
            exito ← exito + 1;
          }
        }
      }
    }
  }
}

```

<i>densidad</i> :variable,§8	<i>exito</i> :variable,§7
<i>i</i> :variable,§8	<i>j</i> :variable,§8
<i>minimo</i> :constante, §5	<i>numColumnas</i> :constante,§3
<i>numHileras</i> :constante,§3	<i>patrones</i> :variable §8
<i>propiedadA</i> :procedimiento, §12	<i>propiedadB</i> :procedimiento, §13
<i>propiedadC</i> :procedimiento, §14	<i>propiedadD</i> :procedimiento, §15
<i>screen</i> :variable,§4	<i>umbral</i> :constante,§6

10. La imagen entera es examinada. Para cada píxel  $P_1$  se determina si pertenece a la clase CONTORNO; si es así, el píxel  $p(x,y)$  es erosionado si su vecindad (ver Fig. 2.3) cumple con las siguientes cuatro propiedades:

**Propiedad A.** La suma de los píxeles en la vecindad de  $P_1$  que pertenecen a la clase CONTORNO es mayor que dos y menor que seis.

**Propiedad B.** El número de patrones 01 en el conjunto ordenado  $P_2, P_3, \dots, P_9$  es igual a uno.

**Propiedad C'.** Alguno de los pixeles  $P_2, P_4, P_8$ , pertenece a la clase FONDO.

**Propiedad D'.** Alguno de los pixeles  $P_2, P_6, P_8$ , pertenece a la clase FONDO.

<Segunda etapa 10>≡

```

for (i ← minimo; i ≤ numHileras - minimo; i ← i + 1){
  for (j ← minimo; j ≤ numColumnas - minimo; j ← j + 1) {
    if ( *(screen + numColumnas * i + j) > umbral) {
      densidad ← propiedadA(j, i);
      if ((densidad ≥ 2) ∧ (densidad ≤ 6)) {
        patrones ← propiedadB(j, i);
        if (patrones = 1) {
          if ((propiedadC'(j, i) = 0) ∧ (propiedadD'(j, i) = 0)) {
            *(screen + numColumnas * i + j) ← 0;
            exito ← exito + 1;
          }
        }
      }
    }
  }
}

```

densidad: variable, §8

i: variable, §8

minimo: constante, §5

numHileras: constante, §3

propiedadA: procedimiento, §12

propiedadC': procedimiento, §16

screen: variable, §4

exito: variable, §7

j: variable, §8

numColumnas: constante, §3

patrones: variable, §8

propiedadB: procedimiento, §13

propiedadD': procedimiento, §17

umbral: constante, §6

11. La imagen entera es examinada. Para cada pixel  $P_1$  se determina si pertenece a la clase CONTORNO; si es así, el pixel  $p(x, y)$  es erosionado si su vecindad (ver Fig. 2.3) cumple con alguna de las siguientes cuatro propiedades:



**Propiedad 1.** Todos los píxeles  $\overline{P}_5, P_4, P_6$ , pertenece a la clase CONTORNO.

**Propiedad 2.** Todos los píxeles  $\overline{P}_3, P_6, P_8$ , pertenece a la clase CONTORNO.

**Propiedad 3.** Todos los píxeles  $\overline{P}_3, P_8, P_2$ , pertenece a la clase CONTORNO.

**Propiedad 4.** Todos los píxeles  $\overline{P}_7, P_2, P_4$ , pertenece a la clase CONTORNO.

<Tercera etapa 11>≡

```

for (i ← minimo; i ≤ numHileras - minimo; i ← i + 1){
  for (j ← minimo; j ≤ numColumnas - minimo; j ← j + 1) {
    if ( *(screen + numColumnas × i + j) > umbral) {
      if (propiedad1(j,i) ≠ 0) {
        *(screen + numColumnas × i + j) ← 0;
        exito ← exito + 1;
      }
      else if (propiedad2(j,i) ≠ 0) {
        *(screen + numColumnas × i + j) ← 0;
        exito ← exito + 1;
      }
      else if (propiedad3(j,i) ≠ 0) {
        *(screen + numColumnas × i + j) ← 0;
        exito ← exito + 1;
      }
      else if (propiedad4(j,i) ≠ 0) {
        *(screen + numColumnas × i + j) ← 0;
        exito ← exito + 1;
      }
    }
  }
}

```

}

caño:variable,§7	i:variable,§8
j:variable,§8	mínimo:constante, §5
numColumnas:constante,§3	numFilas:constante,§3
propiedad1:procedimiento, §18	propiedad2:procedimiento, §19
propiedad3:procedimiento, §20	propiedad4:procedimiento, §21
screen:variable,§4	umbral:constante,§6

12. Verificamos el número de píxeles en la vecindad  $3 \times 3$  de  $P_i$  que pertenece a la clase CONTORNO:

```

int propiedadA(i,j)
int i,j;
{ int x,y,result,nivel;
  result ← 0;
  for (x ← i - 1; x ≤ i + 1; x ← x + 1){
    for (y ← j - 1; y ≤ j + 1; y ← y + 1){
      if (¬((x = i) ∧ (y = j))) {
        nivel ← *(screen + numColumnas × y + x);
        if (nivel > umbral) result ← result + 1;
      }
    }
  }
  return (result);
}

```

numColumnas:constante,§3    screen:variable,§4    umbral:constante,§6

13. Contabilizamos el número de patrones 01 en la vecindad de  $P_i$ :

```

int propiedadB(i,j)
int i,j;
{ int v[10],x,y,next,nivel;
  v[2] ← *(screen + numColumnas × (j - 1) + i);
  v[3] ← *(screen + numColumnas × (j - 1) + (i + 1));
  v[4] ← *(screen + numColumnas × j + (i + 1));
  v[5] ← *(screen + numColumnas × (j + 1) + (i + 1));
  v[6] ← *(screen + numColumnas × (j + 1) + i);
}

```

```

v[7] ← *(screen + numColumnas × (j + 1) + (i - 1));
v[8] ← *(screen + numColumnas × j + (i - 1));
v[9] ← *(screen + numColumnas × (j - 1) + (i - 1));
next ← 0;
for (x ← 2; x < 9; x ← x + 1){
    if ((v[x] < umbral) ∧ (v[x + 1] > umbral)) next ← next + 1;
}
if ((v[9] < umbral) ∧ (v[2] > umbral)) next ← next + 1;
return (next);
}

numColumnas:constante,§3 screen:variable,§4 umbral:constante,§6

```

14. Verificamos que por lo menos uno de los valores  $P_2, P_4, P_6$  sea cero:

```

int propiedadC(x,y)
int x,y;
{int p2, p4, p6;
  p2 ← *(screen + numColumnas × (y - 1) + x);
  p4 ← *(screen + numColumnas × y + (x + 1));
  p6 ← *(screen + numColumnas × (y + 1) + x);
  return (p2 × p4 × p6);
}

numColumnas:constante,§3 screen:variable,§4

```

15. Verificamos que por lo menos uno de los valores  $P_4, P_6, P_8$  sea cero:

```

int propiedadD(x,y)
int x,y;
{int p4, p6, p8;
  p4 ← *(screen + numColumnas × y + (x + 1));
  p6 ← *(screen + numColumnas × (y + 1) + x);
  p8 ← *(screen + numColumnas × y + (x - 1));
  return (p4 × p6 × p8);
}

numColumnas:constante,§3 screen:variable,§4

```

16. Verificamos que por lo menos uno de los valores  $P_2, P_4, P_8$  sea cero:

```

int propiedadC'(x,y)
int x,y;
{int p2, p4, p8;
  p2 ← *(screen + numColumnas × (y - 1) + x);
  p4 ← *(screen + numColumnas × y + (x + 1));
  p8 ← *(screen + numColumnas × y + (x - 1));
  return (p2 × p4 × p8);
}

numColumnas:constante,§3  screen:variable,§4

```

17. Verificamos que por lo menos uno de los valores  $P_2, P_6, P_8$  sea cero:

```

int propiedadD'(x,y)
int x,y;
{int p2, p6, p8;
  p2 ← *(screen + numColumnas × (y - 1) + x);
  p6 ← *(screen + numColumnas × (y + 1) + x);
  p8 ← *(screen + numColumnas × y + (x - 1));
  return (p2 × p6 × p8);
}

numColumnas:constante,§3  screen:variable,§4

```

18. Verificamos que todos los valores  $\overline{P}_9, P_4, P_6$  sean uno:

```

int propiedad1(x,y)
int x,y;
{int p9', p4, p6;
  p9' ← *(screen + numColumnas × (y - 1) + (x - 1));
  p9' ← (p9' > umbral)?0 : 1;
  p4 ← *(screen + numColumnas × y + (x + 1));
  p6 ← *(screen + numColumnas × (y + 1) + x);
  return (p9' × p4 × p6);
}

```

```
numColumnas:constante,$3 screen:variable,$4 umbral:constante,$6
```

19. Verificamos que todos los valores  $\overline{P}_3, P_6, P_8$  sean uno:

```
int propiedad2(x,y)
int x,y;
{int p3', p6, p8;
  p3' ← *(screen + numColumnas × (y - 1) + (x + 1));
  p3' ← (p3' > umbral)?0 : 1;
  p6 ← *(screen + numColumnas × (y + 1) + x);
  p8 ← *(screen + numColumnas × y + (x - 1));
  return (p3' × p6 × p8);
}

numColumnas:constante,$3 screen:variable,$4 umbral:constante,$6
```

20. Verificamos que todos los valores  $\overline{P}_3, P_8, P_2$  sean uno:

```
int propiedad3(x,y)
int x,y;
{int p3', p8, p2;
  p3' ← *(screen + numColumnas × (y + 1) + (x + 1));
  p3' ← (p3' > umbral)?0 : 1;
  p8 ← *(screen + numColumnas × y + (x - 1));
  p2 ← *(screen + numColumnas × (y - 1) + x);
  return (p3' × p8 × p2);
}

numColumnas:constante,$3 screen:variable,$4 umbral:constante,$6
```

21. Verificamos que todos los valores  $\overline{P}_7, P_2, P_4$  sean uno:

```
int propiedad4(x,y)
int x,y;
{int p7', p2, p4;
  p7' ← *(screen + numColumnas × (y + 1) + (x - 1));
  p7' ← (p7' > umbral)?0 : 1;
  p2 ← *(screen + numColumnas × (y - 1) + x);
```

```

    p4 ← *(screen + numColumnas × y + (x + 1));
    return (p7 × p2 × p4);
}

```

numColumnas:constante,§3    screen:variable,§4    umbral:constante,§6

22. Con el fin no interferir con el algoritmo de seguimiento de contornos (que es la siguiente etapa en el proceso) un conjunto de pixeles del borde de la imagen es pasado a la clase FONDO.

<Rutina de pos-proceso 22>≡

```

void valida()
{int i,j;
  for (i ← 0; i ≤ numHileras - 1; i ← i + 1){
    for (j ← 0; j < 20; j ← j + 1){
      *(screen + numColumnas × i + j) ← 0;
      *(screen + numColumnas × i + (numColumnas - j - 1)) ←
    }
  }
  for (i ← 0; i ≤ numColumnas - 1; i ← i + 1){
    for (j ← 0; j < 20; j ← j + 1){
      *(screen + numColumnas × j + i) ← 0;
      *(screen + numColumnas × (numHileras - j - 1) + i) ← 0;
    }
  }
}

```

numColumnas:constante,§3    numHileras:constante,§3    screen:variable,§4

23. El programa principal hace uso de la rutina `addressVideoCard`, definida en la librería "igselib.h" (ver §2), que nos indica la posición en memoria en donde se encuentra definida la imagen.

El número de iteraciones del algoritmo de erosión depende de la imagen original. El proceso se continúa mientras algún pixel haya sido erosionado por la iteración anterior. Al final una rutina convierte en la clase FONDO los bordes de la imagen con el fin de no interferir en algunos procesos del algoritmo de seguimiento de contornos.

<Rutina principal 23>≡

```

main(){
    initVideoCard(&screen);
    exito ← 1;
    while (exito > 0)
        erosion();
    valida();
}

```

erosion: procedimiento, §8    exito: variable, §7    screen: variable, §4  
 valida: procedimiento, §22    screen: variable, §4

## A.5 Extracción de contornos.

Hasta este momento, la matriz que almacena la imagen tiene información que caracteriza a los píxeles que contiene, como pertenecientes a una de dos clases: FONDO o CONTORNO. Nuestro propósito ahora es definir una relación que agrupe los píxeles de la clase CONTORNO en subclases llamadas *circuitos*. La relación que buscamos debe estar relacionada con la morfología de los objetos; de ésta manera, en subsiguientes imágenes, encontraremos la misma subclase<sup>1</sup>.

1. La descripción comienza mostrando las porciones principales de un programa en lenguaje C, cuyas componentes serán llenadas después. Por ejemplo, la porción del programa llamada <Las constantes 3> será reemplazada por una secuencia de declaraciones de constantes que comienza en §3.

<Los archivos que se preprocesan 2>

<Las constantes 3>

<Estructuras de datos 10>

<Las variables globales 5>

<Rutinas auxiliares 6>

<Rutina "main" 41>

---

<sup>1</sup> Siempre y cuando no haya oclusiones y las imágenes estén "cerca" una de otra.

2. Las rutinas para el manejo de la carta de adquisición de imágenes se encuentran en la librería "igselib.h". Son rutinas tales como inicializar la carta de adquisición, digitalizar una imagen, escribir un punto en la memoria, leer un punto de la memoria, etc. En esta serie de programas solo se utiliza la rutina que nos indica la dirección de memoria en donde se encuentra la carta de adquisición de imágenes. Todas las rutinas que pudieran estar relacionadas con la tarjeta se hicieron siguiendo el manejo estandar de apuntadores que permite el lenguaje C.

El archivo "stdio.h" contiene las rutinas de entrada y salida estandar en el lenguaje C. Para mayor información consultar la documentación del lenguaje.

<Los archivos que se preprocesan 2>

```
#include "igselib.h"
```

```
#include "stdio.h"
```

3. La imagen digital que maneja la carta de adquisición tiene dimensiones de 768 columnas x 512 hileras.

Esta es la primera de varias secciones en donde las constantes están definidas.

<Las constantes 3> ≡

```
#define numColumnas (768)
```

```
#define numHileras (512)
```

Ver también 4, 14, 26, 30, 35.

4. Los valores de lógicos, verdadero o falso, son definidos en esta sección.

<Las constantes 3> + ≡

```
#define FALSE (0)
```

```
#define TRUE (1)
```

5. Las variables *memo* y *screen* expresan dos direcciones de memoria. La dirección *memo* nos indica el lugar en donde se almacena la imagen que actualmente se analiza. La dirección *screen* nos indica dos cosas: el lugar en donde se almacenan los resultados del análisis y el inicio de



la memoria de video de la tarjeta de digitalización; ello nos permite ver los resultados del análisis.

Esta es la primera de varias secciones en donde las variables están definidas.

<Las variables globales 5>≡

```
Byte *memo,*screen;
```

Ver también 8 y 9.

6. Las rutinas que constituyen el cuerpo del programa están divididas en las siguientes partes:

<Rutinas auxiliares 6>≡

< Inicialización de memoria de video 7>

<Seguimiento de contornos 16>

<Análisis de vecindad 31>

<Exposición de resultados 28>

7. Los resultados del proceso de seguimiento de contornos son visualizados directamente en un monitor. Esto se logra guardando los resultados del proceso en la memoria de video de la tarjeta de digitalización. Al utilizar la tarjeta, nuestro programa se vuelve dependiente del equipo pero, las facilidades de visualizar los resultados y la existencia de un bloque de memoria capaz de albergar una imagen nos inclinaron a tomar esta decisión. Sin embargo, si las ventajas dejan de existir, las rutinas se han programado para que los cambios sean mínimos.

< Inicialización de memoria de video 7>≡

```
void initMemory() {
int i,j;
  for(i ← 0; i ≤ numHileras - 1; i ← i + 1){
    for(j ← 0; j ≤ numColumnas - 1; j ← j + 1){
      *(screen + i × numHileras + j) ← 0;
    }
  }
}
```

```
numHileras:constante, §3  numColumnas:constante, §3  screen:variable,§5
```

8. La variable *f* nos indica el archivo en donde se almacenarán los descriptores de cada curva.

```
<Las variables globales 5> + ≡  
FILE *f;
```

9. La variable *numero* nos indica el número de curvas que fueron encontradas en cada escena.

```
<Las variables globales 5> + ≡  
int numero;
```

10. Un pixel o punto está representado por el número de columna *x* y el número de hilera *y*. El origen se encuentra en el margen superior izquierdo, con direcciones positivas hacia la derecha y abajo.

Esta es la primera de varias declaraciones de estructuras de datos.

```
<Estructuras de datos 10> ≡
```

```
struct point{  
    int x,y;  
};
```

Ver también 11, 12, 13.

11. La siguiente estructura almacena características importantes de un segmento de recta. Las coordenadas  $(x_o, y_o)$  y  $(x_f, y_f)$  son los puntos inicial y final del segmento. El ángulo del segmento con respecto a la horizontal está dado por *angle*, la cual toma valores entre 0 y  $\pi$  radianes; la variable *slope* es el valor de la función tangente de la variable *angle*. La coordenada  $(cx, cy)$  representa el centro de la ventana en donde se encontró el segmento.

```
<Estructuras de datos 10> + ≡
```

```
struct recta{  
    float x_o, x_f, y_o, y_f, angle, slope;  
    int cx,cy;  
};
```

12. El área en donde se define una ventana está delimitada por su margen superior izquierdo y su margen inferior derecho; las coordenadas  $(x_o, y_o)$  y  $(x_f, y_f)$  respectivamente.

<Estructuras de datos 10> + ≡

```
struct windType {
    int x_o, y_o, x_f, y_f;
};
```

13. El análisis de los contornos recupera los siguientes descriptores de la curva:

- La longitud  $n$ . Cada unidad representa 5 pixeles.
- El promedio de dirección de la curva *media*, medido en radianes.
- La posición del centroide. La coordenada  $(cx, cy)$ .
- Las coordenadas del punto inicial y final de la curva:  $(x_1, y_1)$  y  $(x_2, y_2)$  respectivamente.

<Estructuras de datos 10> + ≡

```
struct curve{
    int n;
    float media;
    float cx, cy;
    int x_1, y_1, x_2, y_2;
};
```

14. Con el fin de no abandonar el área de la imagen, nuestro algoritmo exige que una parte de los bordes sea suprimido. Este borde suprimido tiene una anchura de *minimo* pixeles.

<Las constantes 3> + ≡

```
#define minimo (10)
```

15. El nivel de gris que divide entre las dos clases: FONDO y CONTORNO esta dado por *umbral*.

<Las constantes 3> + ≡

```
#define umbral (40)
```

16. El algoritmo de seguimiento de contornos propuesto se basa en el supuesto de que cualquier curva puede ser aproximada por segmentos de recta siempre y cuando estos segmentos de recta sean suficientemente pequeños. Con el fin de aplicar este principio a una imagen binaria expuesta a ruido definimos una ventana de análisis, dentro de la cual intentaremos encontrar segmentos de recta. Las dimensiones de la ventana se definen de acuerdo a los siguientes principios:

- Las dimensiones de una ventana deben ser suficientemente grandes para encontrar dentro un número suficientemente grande de píxeles como para que una recta sea aparente.
- Las dimensiones de una ventana deben ser suficientemente pequeñas para no involucrar más de una recta a la vez.

Las ventanas que se definen conforme se analiza la curva se traslapan entre ellas con el fin de darle robustez a la decisión de seguimiento de una dirección.

<Seguimiento de contornos 16>≡

```

int tracking() {
struct windType window[6];
int      i,j,k,nivel,numWindow,numLine;
struct point  p,q,centroFijo,centroMovil,nez;
struct recta  actual,siguiente,saveLine[6];
float        pendiente;
struct curve  curva;
    numero ← 0; j ← minimo
    while(j ≤ numHileras - (minimo + 1)){
        i ← minimo;
        while(i ≤ numColumnas - 1 - minimo){
            nivel ← *(memo + j × numHileras + i);
            if(nivel ≥ umbral){
                p.x ← i; p.y ← j;
                if (Neighborhood( &p, &actual)= TRUE) {
                    < Analisis de la posicion actual 17 >
                }
            }
        }
    }
}

```

```

        i ← i + 1;
    }
    j ← j + 1;
}
return(numero);
}

```

curve:tipo, §13	memo:variable, §5
Neighborhood:función, §31	numfilas:constante, §3
numColumnas:constante, §3	point:tipo, §10
recta:tipo, §11	screen:variable, §5
numColumnas:constante, §3	windType:tipo, §12

17. Cada posición de la imagen es evaluada para determinar ocurrencias de segmentos de recta. Una vez encontrada evidencia de que un segmento existe se le sigue en dirección de sus extremos. Al mismo tiempo un conjunto de descriptores de la curva son calculados. Conforme es posible, los pixeles que han sido analizados son borrados para no interferir con otros procesos.

El procedimiento toma cuenta de que las curvas tengan una longitud significativa. Si una curva no tiene una longitud suficientemente grande, simplemente no se le toma en cuenta. Esta convención permite eliminar algo del ruido presente en la imagen.

Al final, los descriptores son almacenados en un archivo para que un proceso posterior busque la correspondencia entre las curvas de dos imágenes.

<Análisis de la posición actual 17>≡

```

<Inicio de curva 18>
numLine ← 1;
saveLine[numLine] ← actual;
<Inicio del salvaguardo de áreas de ventanas 24>
centroFijo ← p; centroMovil ← centroFijo;
p.x ← actual.xo + actual.cx;
p.y ← actual.yo + actual.cy;
q.x ← actual.xf + actual.cx;
q.y ← actual.yf + actual.cy;

```

```

next ← p; k ← 2;
pendiente ← actual.slope;
< Seguimiento de la curva 19>
if(numLine ≥ 2){
  <Final de curva 22>
  <Almacen de descriptores de la curva 23>
  for(k ← 1; k ≤ 2; k ← k + 1) DDA(saveLine[k]);
  <Termina salvaguardo de areas de ventanas 27>
}

```

actual.variable,§16	centroFijo.variable,§16	centroMovil.variable,§16
DDA.procedimiento,§28	k.variable,§16	next.variable,§16
numLine.variable,§16	p.variable,§16	pendiente.variable,§16
q.variable,§16	saveLine.variable,§16	

18. Una curva comienza a ser analizada.

<Inicio de curva 18>≡

```

curva.n ← 1;
curva.media ← actual.angle;
curva.cx ← p.x; curva.cy ← p.y;

```

actual.variable,§16	curva.variable,§16	p.variable,§16
---------------------	--------------------	----------------

19. Una curva ha sido detectada. Lo que procede ahora es tratar de llegar tan lejos como podamos en dirección de los dos extremos de la curva. Mientras exista una secuencia de pixeles en dirección de un extremo y no encontremos un cambio brusco en la dirección de la curva continuamos en el presente extremo; de otro modo, regresamos al lugar donde encontramos el primer segmento y seguimos hacia el otro lado.

< Seguimiento de la curva 19>≡

```

while(k > 0){
  if(Neighborhood(&q, &siguiente) = TRUE){
    <Continuacion del salvaguardo de areas de ventanas 25>
    if(Continuity(actual, siguiente)){

```

```

numLine ← numLine + 1;
if(numLine ≤ 2){
    saveLine[numLine] ← siguiente;
}
else DDA(siguiente);
<Continuación de curva 20>
p ← q;
proyectal(siguiente, centroMovil, &q);
actual ← siguiente;
centroMovil ← p;
}
else {
    <Termina un extremo de areas de ventanas 26>
    centroMovil ← centroFijo;
    actual.slope ← pendiente;
    q ← next; k ← k - 1;
    <Termina un extremo de la curva 21>
}
}
else {
    <Termina un extremo de areas de ventanas 26>
}
}
}

```

actual:variable,§16	centroFijo:variable,§16	centroMovil:variable,§16
Continuity:funcion,§36	DDA:procedimiento,§28	Neighborhood:funcion,§31
numLine:variable,§16	p:variable,§16	pendiente:variable,§16
proyectal:procedimiento,§37	q:variable,§16	siguiente:variable,§16
saveLine:variable,§16		

20. Se continúa el análisis de la curva.

<Continuación de curva 20>≡

```

curva.n ← curva.n + 1;
curva.media ← curva.media + siguiente.angle;
curva.cz ← curva.cz + q.z;
curva.cy ← curva.cy + q.y;

```

```
curva.variable,$16 q.variable,$16 siguiente.variable,$16
```

21. Un extremo de la curva ha sido alcanzado. Podemos determinar uno de los puntos extremos de la curva.

<Termina un extremo de la curva 21>≡

```
if (k > 0) {
    curva.x1 ← (float)q.x; curva.x1 ← (float)q.y;
}
```

```
curva.variable,$16 f.variable,$16 q.variable,$16
```

22. Hemos arriado al extremo final de la curva.

<Final de curva 22>≡

```
numero ← numero + 1;
curva.x2 ← (float)q.x; curva.y2 ← (float)q.y;
curva.cz ← curva.cz/curva.n;
curva.cy ← curva.cy/curva.n;
curva.media ← curva.media/curva.n;
```

```
curva.variable,$16 numero.variable,$16 q.variable,$16
```

23. Los descriptores de la curva: la longitud, la dirección promedio, la posición del centroide y los puntos inicial y final son almacenados en un archivo.

<Almacén de descriptores de la curva 23>≡

```
fprintf(f,"%d ",numero);
fprintf(f,"%d ",curva.n);
fprintf(f,"%f ",curva.media);
fprintf(f,"%f ",curva.cz);
fprintf(f,"%f ",curva.cy);
```



```

fprintf(f,"%d ",curva.x1);
fprintf(f,"%d ",curva.x1);
fprintf(f,"%d ",curva.x2);
fprintf(f,"%d ",curva.y2);

```

curva:variable,§16 f:variable,§5 numero:variable,§16

24. Un sistema de ventanas que se traslapan es puesta en funcionamiento para seguir el camino de la curva. Este sistema de ventanas nos servirá para borrar, en el momento oportuno, los pixeles que ya fueron analizados.

<Inicio del salvaguardo de áreas de ventanas 24>≡

```

numWindow ← 1;
saveWindow(&window[numWindow], p);

```

numWindow:variable,§16 p:variable,§16 saveWindow:procedimiento,§38  
window:variable,§16

25. Las áreas que corresponden a las ventanas uno y dos no pueden ser borradas inmediatamente en virtud del traslape que entre ellas existe. En lugar de ello, hay un corrimiento entre las ventanas tres, cuatro y cinco.

<Continuación del salvaguardo de áreas de ventanas 25>≡

```

numWindow ← numWindow + 1;
saveWindow(&window[numWindow], q);
if(numWindow = 5){
  eraseWindow(window[3]);
  window[3] ← window[4]; window[4] ← window[5];
  numWindow ← 4;
}

```

eraseWindow:procedimiento,§39 numWindow:variable,§16  
saveWindow:procedimiento,§38 window:variable,§16

26. Cuando un extremo de la curva ha sido alcanzado, debemos eliminar los puntos hasta el momento han sido analizados pero no borrados. Esto incluye de la tercera ventana en adelante y la mitad de la segunda que apunta hacia el extremo alcanzado.

<Termina un extremo de áreas de ventanas 26>≡

```
for( $k \leftarrow 3$ ;  $k \leq numWindow$ ;  $k \leftarrow k + 1$ ){
  eraseWindow(window[f]);
}
eraseWindow2(window[1],window[2]);
numWindow  $\leftarrow 1$ ;
```

eraseWindow:procedimiento,§39    eraseWindow2:procedimiento,§40     $k$ :variable,§16  
numWindow:variable,§16    window:variable,§16

27. Los dos extremos de la curva han sido alcanzados. Ahora resta eliminar los pixeles que han sido analizados para no interferir con el análisis de otras curvas.

<Termina salvaguardo de áreas de ventanas 27>≡

```
for( $k \leftarrow 1$ ;  $k \leq numWindow$ ;  $k \leftarrow k + 1$ ){ eraseWindow(window[k]);
}
```

eraseWindow:procedimiento,§39     $k$ :variable,§16    numWindow:variable,§16  
window:variable,§16

28. Este algoritmo dibuja una línea recta sobre la memoria de video, con el fin de visualizar el resultado del seguimiento de contornos. Se programó con el propósito de no hacer uso de las librerías de la tarjeta. Con ésto logramos que el programa, no obstante ser dependiente del equipo, pueda ser fácilmente modificable para adaptarlo a otro.

El algoritmo toma como entradas las coordenadas del punto inicial y final del segmento. Calcula el eje de desplazamiento mayor y comenzando desde el punto inicial, se incrementa un  $\Delta$  sobre el eje de desplazamiento menor dibujando los puntos que van formando la recta hasta llegar al punto final.

```

void DDA(lineDescriptor)
struct recta lineDescriptor;
{int i,j,x1, x2, z1, y2;
float x,y,Δx, Δy,l;
  i ← lineDescriptor.cx; j ← lineDescriptor.cy;
  x1 ← (int)(lineDescriptor.xo) + i;
  x2 ← (int)(lineDescriptor.yo) + j;
  z1 ← (int)(lineDescriptor.xf) + i;
  y2 ← (int)(lineDescriptor.yf) + j;
  if(¬((x1 = x2) ∧ (z1 = y2))) {
    l ← | x2 - x1 |;
    if(| y2 - z1 | > l) l ← | y2 - z1 |;
    Δx ← (x2 - x1)/l; Δy ← (y2 - z1)/l;
    x ← x1 + 0.5; y ← z1 + 0.5;
    for(i ← 1; i ≤ (int)l; i ← i + 1) {
      *(screen + numHileras × (int)y + (int)x) ← 255;
      x ← x + Δx; y ← y + Δy;
    }
  }
}

numHileras:constante,§3  recta:tipo,§10  screen:variables,§5

```

29. Para algunas comparaciones entre reales, es preciso definir un valor real  $\epsilon$  de valor pequeño.

```

<Las constantes 3> + ≡
#define ε (0.0001)

```

30. La dimensión de la ventana que hemos definido es de  $11 \times 11$ ; es un valor arbitrario que puede cambiar de imagen a imagen. Aquí *windowSize* representa el máximo valor absoluto que puede tomar una coordenada dentro de la ventana.

```

<Las constantes 3> + ≡
#define windowSize (5)

```

31. Sobre una vecindad, definida por un pixel que pertenece al contorno, buscamos un segmento de recta utilizando el método de aproximación

de una recta a un conjunto de puntos por mínimos cuadrados. Después encontramos los parámetros de la recta que se define y finalmente encontramos los puntos final e inicial del segmento.

<Análisis de vecindad 31>≡

```

int Neighborhood(p,line)
struct point *p;
struct recta *line;
{int i,j,nivel,index,xr[5],yr[5],result;
float x,y,m,b,xData[122],yData[122];
float valorA1, valorB1, valorA2, valorB2, error1, error2, valor;
float sumaAbsX, sumaAbsY, sumaX, sumaY, sumaXY,
      sumaX2, sumaY2, cociente;
  < Censo de la vecindad 32 >
  if(index >← 5){
    < Aproximacion por minimos cuadrados 33 >
    < Limites del segmento 34 >
  } else{ result ← FALSE; }
  return (result);
}

```

point:tipo,§10    recta:tipo,§10

32. La zona que corresponde a la ventana es barrida. Al mismo tiempo, la información con respecto a los parámetros de la recta que se aproximará son recabados.

< Censo de la vecindad 32 >≡

```

index ← 0
sumaX ← 0.0
sumaY ← 0.0
sumaXY ← 0.0;
sumaX2 ← 0.0;
sumaY2 ← 0.0;
sumaAbsX ← 0.0; sumaAbsY ← 0.0;
for(i ←  $\bar{p}.y - 5$ ; i ≤  $\bar{p}.y + 5$ ; i ← i + 1){

```

```

for(j ←  $\bar{p}.x - 5$ ; j ≤  $\bar{p}.x + 5$ ; j ← j + 1){
  nivel ← *(memo + i × numHileras + j);
  if(nivel ≥ umbral){
    x ← j -  $\bar{p}.x$ ; y ← i -  $\bar{p}.y$ ;
    index ← index + 1;
    xData[index] ← (float)x; yData[index] ← (float)y;
    sumaAbsX ← sumaAbsX + | x |;
    sumaAbsY ← sumaAbsY + | y |;
    sumaX ← sumaX + (float)x;
    sumaY ← sumaY + (float)y;
    sumaXY ← sumaXY + (float)(x × y);
    sumaX2 ← sumaX2 + (float)(x × x);
    sumaY2 ← sumaY2 + (float)(y × y);
  }
}
}

```

i:variable,\$31	index:variable,\$31	j:variable,\$31
memo:variable,\$5	nivel:variable,\$31	numHileras:constante,\$3
sumaAbsX:variable,\$31	sumaAbsY:variable,\$31	sumaX:variable,\$31
sumaXY:variable,\$31	sumaX <sup>2</sup> :variable,\$31	sumaY:variable,\$31
sumaY <sup>2</sup> :variable,\$31	x:variable,\$31	xData:variable,\$31
y:variable,\$31	yData:variable,\$31	umbral:constante,\$3
recta:tipo,\$10	z:variable,\$31	

33. Con el fin de aproximar una recta al conjunto de píxeles en la ventana, debemos elegir una función a minimizar. Hemos elegido la función que minimiza la distancia de los puntos a la recta propuesta. Definimos dos hipótesis con respecto a las coordenadas de los píxeles que pertenecen al contorno y están dentro de la ventana:

- En las coordenadas (X,Y), la parte X puede estar mal pero la parte Y es correcta.
- La parte Y puede estar mal pero la parte X es correcta.

En base a esas hipótesis calculamos los parámetros  $m$  y  $b$  (la pendiente y el cruce con el eje Y, respectivamente) de dos ecuaciones. La ecuación que minimiza nuestra función de error es elegida como la resultante del proceso.

<Aproximación por mínimos cuadrados 33>≡

```

cociente ← (index × sumaXY - sumaX × sumaY);
if(|cociente| > ε){
    valorA1 ← (index × sumaY2 - sumaY × sumaY)/cociente;
    valorB1 ← (sumaY - valorA1 × sumaX)/index;
}
else {
    if(|sumaXY| < ε){
        if(|sumaAbsX| < ε){
            valorA1 ← 1000.0;
            valorB1 ← 0.0;
        }
        else {
            if(|sumaAbsY| < ε){
                valorA1 ← 0.0;
                valorB1 ← (sumaY - valorA1 × sumaX)/index;
            }
        }
    }
    else {valorA1 ← 1000.0;
        valorB1 ← 0.0;
    }
}
error1 ← 0.0;
for(i ← 1; i ≤ index; i ← i + 1){
    valor ← yData[i] - valorA1 × xData[i] - valorB1;
    error1 ← error1 + (valor × valor)/(1.0 + valorA1 × valorA1);
}
cociente ← (index × sumaX2 - sumaX × sumaX);
if(|cociente| > ε){
    valorA2 ← (index × sumaXY - sumaX × sumaY)/cociente;
}
else valorA2 ← 1000.0;
valorB2 ← (sumaY - valorA2 × sumaX)/index;
error2 ← 0.0;
for(i ← 1; i ≤ index; i ← i + 1){

```

```

valor ← (yData[i] - valorA2 × xData[i] - valorB2);
error2 ← error2 + (valor × valor)/(1.0 + valorA2 × valorA2);
}
if(error1 < error2){
  m ← valorA1; b ← valorB1;
}
else{m ← valorA2; b ← valorB2;
}
}

```

k:variable,§31	cociente:variable,§31	c:constante,§29
error <sub>1</sub> :variable,§31	error <sub>2</sub> :variable,§31	r:variable,§31
index:variable,§31	m:variable,§31	sumaA1x:variable,§31
sumaA1y:variable,§31	sumaX:variable,§31	sumaXy:variable,§31
sumaY:variable,§31	valor:variable,§31	valorA <sub>1</sub> :variable,§31
valorA <sub>2</sub> :variable,§31	valorB <sub>1</sub> :variable,§31	valorB <sub>2</sub> :variable,§31
xData:variable,§31	yData:variable,§31	

34. La recta que se ha encontrado es acotada por los límites de la ventana. Con el fin de determinar los puntos extremos del segmento, se calcula la intersección de la recta con los límites de la ventana. La ventana tiene dimensiones  $11 \times 11$  por lo que las intersecciones se hacen con las rectas:  $Y = 5$ ,  $Y = -5$ ,  $X = 5$ , y  $X = -5$ .

<Límites del segmento 34>≡

```

index ← 1;
cociente ← m × windowSize + b;
if(|cociente| ≤ windowSize){
  zr[index] ← windowSize; yr[index] ← cociente;
  index ← index + 1;
}
cociente ← -m × windowSize + b;
if(|cociente| ≤ windowSize){
  zr[index] ← -windowSize; yr[index] ← cociente;
  index ← index + 1;
}
if(|m| > ε){
  cociente ← (windowSize - b)/m;
  if(|cociente| ≤ windowSize){

```

```

        zr[index] ← cociente; yr[index] ← windowSize;
        index ← index + 1;
    }
    cociente ← (-windowSize - b)/m;
    if(|cociente| ≤ windowSize){
        zr[index] ← cociente; yr[index] ← -windowSize;
        index ← index + 1;
    }
}
line.xo ← zr[1]; line.yo ← yr[1];
line.xf ← zr[2]; line.yf ← yr[2];
line.slope ← m;
valor ← arctan(m);
if(valor < 0.0) valor ← valor + π;
line.angle ← valor;
line.cx ← p.x; line.cy ← p.y;
result ← TRUE;
}

```

b:variable,§31	cociente:variable,§31	c:constante,§29
index:variable,§31	m:variable,§31	p:constante
π:constante	valor:variable,§31	zr:variable,§31
yr:variable,§31	windowSize:constante,§30	

35. Para probar la no variabilidad de la dirección de una curva, proponemos que las rectas de ventanas vecinas tengan una diferencia de orientación pequeña. Los valores de  $\Theta_{30}$  y  $\Theta_{150}$  han sido determinados experimentalmente y pueden llegar a cambiar de imagen a imagen.

<Las constantes 3> + ≡

**#define**  $\Theta_{30}$  (0.523598)

**#define**  $\Theta_{150}$  (2.61799)

36. Pretendemos que las curvas que elijamos tengan la característica de ser analíticamente expresables, lo cual se puede traducir como curvas continuas. Una de nuestras hipótesis de base consiste en considerar que una curva continua, parte de un objeto en la imagen, es una característica morfológicamente invariable del objeto; de tal manera que,



si tomamos otra imagen, no muy distante de la primera, la curva se mantendrá aproximadamente con las mismas características.

La comprobación de la dirección de una curva es una de las pruebas fundamentales del algoritmo. Consiste en determinar si la diferencia entre las direcciones de los segmentos de recta son tan pequeñas como para considerarlos como parte de una sola curva.

```

int Continuity(line1, line2)
struct recta line1, line2;
{ float slope, radianes;
int found;
  slope ← (line1.slope - line2.slope)/(1.0 + line1.slope × line2.slope);
  radianes ← arctan(slope);
  if(radianes < 0.0) radianes ← radianes + π;
  found ← ((radianes < Θ30) ∨ (radianes > Θ150))? TRUE : FALSE;
  return (found);
}

```

recta:tipo,§11    Θ<sub>150</sub>:constante,§35    Θ<sub>30</sub>:constante,§35

37. El propósito de esta rutina es calcular el centro de la siguiente ventana a analizar. En base a las dos direcciones posibles de la recta en la ventana actual, determinamos cual es el punto más alejado al centro de la ventana anterior y este punto es nuestro siguiente centro.

```

void proyectal(sline, p, q)
struct recta sline;
struct point p, *q;
{
  if(((| p.x - (sline.xo + sline.cx) | < 3.0) ∧
    (| p.y - (sline.yo + sline.cy) | < 3.0)) {
    q̄.x ← sline.xj + sline.cx; q̄.y ← sline.yj + sline.cy;
  }
  else { q̄.x ← sline.xo + sline.cx; q̄.y ← sline.yo + sline.cy; }
}

```

```
point:tipo,§10  recta:tipo,§11
```

38. Se define el área sobre la cual se ha trabajado y en este momento no debe ser borrado ningún punto.

```
void saveWindow(window,p)
struct windType *window;
struct point p;
{
    window.xo ← p.x - 5; window.yo ← p.y - 5;
    window.xf ← p.x + 5; window.yf ← p.y + 5;
}
```

```
point:tipo,§10  windType:tipo,§12
```

39. Se borran los puntos pertenecientes a las ventanas que ya han sido analizadas y cuyos puntos deben ser borrados con el fin de no ser tomados en cuenta por otras curvas.

```
void eraseWindow(window)
struct windType window;
{ int i,j;
  for(i ← window.yo; i ≤ window.yf; i ← i + 1){
    for(j ← window.xo; j ≤ window.xf; j ← j + 1){
      *(memo + numHileras × i + j) ← 0;
    }
  }
}
```

```
memo:variable,§5  numHileras:constante,§3  windType:tipo,§12
```

40. En virtud del sistema de seguimiento de curvas, en la que ocurre un traslape con el fin de darle robustez a la decisión de seguir un contorno, existe la necesidad de borrar la mitad de una ventana. Este procedimiento se ejecuta una vez por cada curva, en el lugar en donde fue encontrado el primer segmento y en la dirección del primer extremo de la curva.

```

void eraseWindow2(window1, window2)
struct windType window1, window2;
{ int i,j;
int save[11][11];
  for(i ← window1.yo; i ≤ window1.yf; i ← i + 1){
    for(j ← window1.xo; j ≤ window1.xf; j ← j + 1){
      save[i - window1.yo][j - window1.xo] ←
        *(memo + numHileras × i + j);
    }
  }
  for(i ← window2.yo; i ≤ window2.yf; i ← i + 1){
    for(j ← window2.xo; j ≤ window2.xf; j ← j + 1){
      *(memo + numHileras × i + j) ← 0;
    }
  }
  for(i ← window1.yo; i ≤ window1.yf; i ← i + 1){
    for(j ← window1.xo; j ≤ window1.xf; j ← j + 1){
      *(memo + numHileras × i + j) ←
        save[i - window1.yo][j - window1.xo];
    }
  }
}
}

```

memo:variable,§5    numHileras:constante,§3    windType:tipo,§12

41. El programa analiza dos imágenes, "a" y "b" una por una. La imagen en turno es almacenada en una área de memoria reservada, cuya dirección comienza en *memo*; el resultado del análisis se almacena en la memoria de la tarjeta de digitalización, cuya dirección comienza en *screen*; lo que permite ver el resultado en un monitor especial.

La descripción de cada una de las curvas es almacenada en el archivo "output2" y el número de curvas por imagen se guarda en el archivo "output3".

<Rutina "main" 41>≡

```
main() {
```

```

FILE *g;
f ← fopen("output2","w");
g ← fopen("output3","w");
addressVideoCard(&screen);
memo ← (Byte*)malloc(numColumnas × numHileras);
retrieveImage("a");
initMemory();
numero ← tracking();
fprintf(g,"%d",numero);
retrieveImage("b");
initMemory();
numero ← tracking();
fprintf(g,"%d",numero);
fclose(g);
free(memo);
fclose(f);
}

```

<i>f</i> :variable,§8	initMemory procedimiento, §7
memo:variable,§5	numero:variable,§9
numColumnas:constante,§3	numHileras:constante,§3
retrieveMemory programa	screen:variable,§5
tracking:funcion, §16	

## A.6 Correspondencia.

El programa de seguimiento de contornos hereda un conjunto de descriptores de segmentos de curva para cada imagen. A partir de ellos debemos recuperar la información de profundidad. Para ello proponemos un algoritmo de dos etapas:

- Tomamos el conjunto de descriptores de las curvas de la primera imagen y los comparamos con los descriptores de la segunda imagen. Algunas curvas de la primera imagen tendrán una curva en la segunda imagen que les corresponderá, otras tendrán varias y otras no tendrán ninguna curva candidata a corresponderles. Para las curvas que tienen por lo menos una correspondencia, deducimos las curvas que realmente corresponden en la imagen basándonos en el promedio de desplazamiento

que observan los centroides de las curvas que son candidatos a corresponder.

- Las curvas que no han encontrado su correspondiente son consideradas. Se investiga el efecto que tiene el calcular descriptores para un conjunto de curvas de la primera imagen al hacerlas corresponder con otro conjunto de la segunda imagen. El carácter explosivo de esta búsqueda es minimizada al hacer uso de las siguientes reglas:
  - Solo las curvas que cumplen un cierto criterio de longitud son consideradas.
  - Las curvas de la imagen son agrupadas en varios conjuntos de acuerdo a un criterio de proximidad entre extremos de curvas. Estos conjuntos son llamados *circuitos* y representan, físicamente, estructuras que idealmente deben existir en los objetos. Las curvas que corresponden pertenecen a uno de estos *circuitos*.

1. La descripción comienza mostrando las porciones principales de un programa en lenguaje C, cuyas componentes serán llenadas después. Por ejemplo, la porción del programa llamada < Constantes 9 >, será reemplazada por una secuencia de declaraciones de constantes que comienza en §9.

< Archivos "include" que se preprocesan 2 >

< Constantes 9 >

< Estructuras de datos 4 >

< Variables globales 6 >

< Rutinas auxiliares 3 >

< Rutina Principal 40 >

2. El archivo "stdio.h" contiene las rutinas de entrada y salida estandar en el lenguaje C. Para mayor información consultar la documentación del lenguaje.

< Archivos "include" que se preprocesan 2 >≡

#include "stdio.h"

3. Las rutinas que constituyen el cuerpo del programa están divididas en las siguientes partes:

< Rutinas auxiliares 3 >≡  
< Recuperación de información 7 >  
< Estudio de la estructura 8 >  
< Correspondencia 16 >  
< Cálculo de profundidad 38 >  
< Resultados 39 >

4. La estructura "node" posee datos acerca de los descriptores de los segmentos de curva, ayudas para el proceso de correspondencia y resultados:

**Descriptores:**

- $n$ . Longitud de la curva. Cada unidad representa cinco píxeles.
- $media$ . Dirección promedio de la curva, expresado en radianes.
- $(x, y)$ . Coordenadas de la posición del centroide. El origen del sistema de coordenadas se encuentra en el margen superior izquierdo; el desplazamiento positivo en las direcciones X y Y es hacia la derecha y hacia abajo respectivamente.
- $(x_o, y_o), (x_f, y_f)$ . Coordenadas de los puntos inicial y final del segmento de curva.

**Ayudas:**

- $label$ . Número de curva.
- $\Delta x, \Delta y$ . Valor absoluto del desplazamiento en los ejes X y Y, de la curva con respecto a su curva correspondiente.
- $longGrupo$ . Se utiliza cuando la curva ha encontrado correspondencia junto a un grupo de curvas, representa la longitud del grupo. Cada unidad representa cinco píxeles.

- *circuito*. Las curvas de los objetos son agrupadas de acuerdo a si algún extremo de una curva está “cerca” de un extremo de otra curva diferente a ella misma. Idealmente, estos agrupamientos de curvas representan estructuras independientes de los objetos. Estas estructuras son bautizadas como *circuitos* y son utilizadas durante el proceso de correspondencia de grupos de curvas.

#### Resultados:

- *z*. Coordenada de profundidad del centroide calculada.
- *matched*. Curva con la que se ha encontrado correspondencia.
- *group*. Se utiliza cuando la curva ha encontrado correspondencia como un grupo de curvas, representa el identificador del grupo.

Esta es la primera de varias secciones, en donde se definen estructuras de datos.

< Estructuras de datos 4 > ≡

```
struct node{
    float media;
    float z,y,z;
    float Δx, Δy;
    float longGrupo;
    int label,n,matched,group;
    int xo, yo, zf, yf;
    int circuito;
};
```

Ver también 5, 12, 13 y 14.

5. Una imagen está formada por un conjunto de curvas y el número de *circuitos* que estas curvas forman.

< Estructuras de datos 4 > + ≡

```
struct image{
    struct node *nodo;
    int index;
};
```

6. Las imágenes están representadas por los descriptores de sus curvas. Las variables *imagen[0]* e *imagen[1]* guardan información de las curvas de la primera y segunda imagen respectivamente.

Esta es la primera de varias secciones, en donde se definen variables globales.

< Variables globales 6 >≡

```
struct image imagen[2];
```

Ver también 28 y 35.

7. Los descriptores de las curvas son almacenadas en el archivo "output2" por el proceso de extracción de contornos. El número de curvas que se extrajeron en cada imagen está almacenado en el archivo "output3". El espacio para almacenar esta información en memoria principal es reservado al momento de ejecución del programa.

< Recuperación de información 7 >≡

```
void loadInformation(){
int i;
FILE *f,*g;
struct node msr;
    f ← fopen("output3","r");
    g ← fopen("output2","r");
    fscanf(f,"%d",&imagen[0].index);
    imagen[0].nodo ← (struct node *)
        calloc(imagen[0].index+1,sizeof(msr));
    for(i ← 1; i ≤ imagen[0].index; i ← i + 1){
        fscanf(g,"%d",&msr.label);
        fscanf(g,"%d",&msr.n);
        fscanf(g,"%f",&msr.media);
        fscanf(g,"%f",&msr.x);
        fscanf(g,"%f",&msr.y);
        fscanf(g,"%d",&msr.xo);
        fscanf(g,"%d",&msr.yo);
        fscanf(g,"%d",&msr.xj);
        fscanf(g,"%d",&msr.yj);
    }
}
```



```

msr.group ← 0; msr.matched ← 0;
msr.longGrupo ← 99999.9;
msr.circuito ← 0;
imagen[0].nodo[i] ← msr;
}
fscanf(f, "%d", &imagen[1].index);
imagen[1].nodo ← (struct node *)
    calloc(imagen[1].index+1, sizeof(msr));
for(i ← 1; i ≤ imagen[1].index; i ← i + 1){
    fscanf(g, "%d", &msr.label);
    fscanf(g, "%d", &msr.n);
    fscanf(g, "%f", &msr.media);
    fscanf(g, "%f", &msr.x);
    fscanf(g, "%f", &msr.y);
    fscanf(g, "%d", &msr.xo);
    fscanf(g, "%d", &msr.yo);
    fscanf(g, "%d", &msr.xp);
    fscanf(g, "%d", &msr.yp);
    msr.group ← 0; msr.matched ← 0;
    msr.longGrupo ← 99999.9;
    msr.circuito ← 0;
    imagen[1].nodo[i] ← msr;
}
fclose (g);
fclose (f);
}

```

imagen:variable, %6    node:tipo, %4

8. Un *circuito* es un conjunto de curvas  $C$ , tal que dos curvas diferentes  $r$  y  $s$  pertenecen a  $C$  si entre alguno de sus extremos existe una separación de unos pocos píxeles. Es decir, las curvas adyacentes que han sido calificadas como pertenecientes a partes diferentes del objeto en virtud de su orientación distinta, son agrupadas como pertenecientes a una sola estructura.

La siguiente rutina busca todos los *circuitos* que existen en el conjunto de curvas que constituyen la imagen.

< Estudio de la estructura 8 >≡

```
void createStructure(c)
struct image *c;
{
  int i,circuito;
  circuito ← 0;
  for(i ← 1; i ≤ c.index; i ← i + 1){
    if (c.nodo[i].circuito = 0){
      circuito ← circuito + 1;
      unidad(c,i,circuito);
    }
  }
  c.circuitos ← circuito;
}
```

image:tipo, §5    unidad:procedimiento, §10

9. Para poder ser consideradas como parte de un mismo *circuito*, los extremos de dos curvas no deben estar más alejados de *separacion* pixeles. Esta es la primera de varias secciones, en donde se definen constantes.

< Constantes 9 >≡

```
#define separacion (5)
```

Ver también 11, 18, 19, 20, 21, 24, 27.

10. Para cada curva, se buscan algunas otras cuyos extremos estén próximos. Un conjunto así constituido da origen a un *circuito*. Un *circuito* es, idealmente, una estructura dependiente de la morfología del objeto y por lo tanto la podemos utilizar en el proceso de correspondencia de curvas.

```
void unidad(c,i,circuito)
struct image *c;
int i,circuito;
```

```

{
struct node a,b;
float x,y,dist1,dist2,dist3,dist4;
int j;
  if (c̄.nodo[i].circuito = 0){
    c̄.nodo[i].circuito ← circuito;
    a ← c̄.nodo[i];
    for (j ← 1; j ≤ c̄.index; j ← j + 1){
      if (j! ← i){
        b ← c̄.nodo[j];
        x ← (float)(a.xo - b.xo);
        y ← (float)(a.yo - b.yo);
        dist1 ←  $\sqrt{x \times x + y \times y}$ ;
        x ← (float)(a.xo - b.xf);
        y ← (float)(a.yo - b.yf);
        dist2 ←  $\sqrt{x \times x + y \times y}$ ;
        x ← (float)(a.xf - b.xo);
        y ← (float)(a.yf - b.yo);
        dist3 ←  $\sqrt{x \times x + y \times y}$ ;
        x ← (float)(a.xf - b.xf);
        y ← (float)(a.yf - b.yf);
        dist4 ←  $\sqrt{x \times x + y \times y}$ ;
        if((dist1 < separacion)∨
           (dist2 < separacion)∨
           (dist3 < separacion)∨
           (dist4 < separacion))
          unidad(c, j, circuito);
      }
    }
  }
}

```

imagen:variable, §6      node:tipo, §4      separacion:constante, §9  
 unidad.procedimiento, §10

11. Para cada curva se almacenarán hasta un máximo de *numCurvasAmbiguas* posibles correspondencias.

```
< Constantes 9 > + ≡
```

```
#define numCurvasAmbiguas (10)
```

12. La siguiente estructura servirá para almacenar una posible correspondencia entre dos curvas. Estará insertada en otra estructura que se referirá a la primera imagen y por lo tanto aquí solo necesitamos información sobre la segunda imagen.

La variable *numCurva* se refiere a la curva que es potencialmente correspondiente. La variable *descriptor* proporciona el desplazamiento entre las curvas que potencialmente corresponden.

```
< Estructuras de datos 4 > + ≡
```

```
struct suspected{
    float descriptor;
    int numCurva;
}
```

13. Una curva puede encontrar varias otras, que tengan descriptores parecidos a ella. La siguiente estructura de datos almacena estos posibles conflictos.

```
< Estructuras de datos 4 > + ≡
```

```
struct hilera{
    struct suspected item[numCurvasAmbiguas+1];
    int index;
}
```

14. La siguiente estructura de datos sirve como referencia de la primera imagen. Cada nodo de la primera imagen tendrá una hilera disponible en la que se registrarán las posibles correspondencias.

```
< Estructuras de datos 4 > + ≡
```

```
struct matrix{
```

```

    struct hilera *item;
    int         index;
}

```

15. La variable *match* representa el grafo relacional que tienen como nodos dos componentes; es decir, los identificadores de las curvas de la primera y segunda imagen cuyos descriptores son parecidos unos con otros.

< Variables globales 6 > + ≡

```

struct matrix match;

```

16. El proceso de correspondencia se realiza en tres etapas. La primera se basa en tratar las curvas de forma insolada. Se crea una estructura relacional en la que, para cada curva de la primera imagen, se consideran todas las curvas que potencialmente le corresponden en la segunda imagen. En la segunda etapa se consideran los desplazamientos de los centroides y en base a ello se resuelven los conflictos que pudieran resultar de la primera etapa. Por último, en la tercera etapa se calculan los descriptores de conjuntos de curvas en base a la información estructural llamada *circuits*.

< Apareamiento > ≡

< Inicialización de la estructura de correspondencia 17 >

< Apareamiento entre curvas 22 >

< Apareamiento entre estructuras 23 >

< Apareamiento posterior 25 >

17. La estructura *match* es formalmente un grafo relacional. En la variable *match.item[i]* se almacenará el grupo de curvas que corresponderán con la curva *i*.

< Inicialización de la estructura de correspondencia 17 > ≡

```

void initMatchStructure() {
    struct hilera row;
    int i;
    match.index ← imagen[0].index;
}

```

```

    match.item ← (struct hilera *)
    calloc(match.index + 1, sizeof(row));
    for (i ← 0; i ≤ match.index; i ← i + 1){
        match.item[i].index ← 0;
    }
}

```

*hilera.tipo*, §13    *match.variable*, §15

18. La imagen tiene dimensiones  $768 \times 512$  píxeles. El número de columnas será utilizado para el almacenamiento de todas las posibles diferencias entre renglones.

< Constantes 9 > + ≡

**#define numHileras** (512)

19. Los centroides de las curvas deben tener la coordenada X muy semejante. Esta diferencia se representa por la constante *separaciónImágenes*.

< Constantes 9 > + ≡

**#define separacionImágenes** (40)

20. La diferencia entre el promedio de dirección entre las curvas debe ser pequeño. Esta diferencia se representa por la constante  $\theta_{20}$ .

< Constantes 9 > + ≡

**#define  $\theta_{20}$**  (0.34906585)

21. La diferencia entre las longitudes de las curvas debe ser pequeño. Esta diferencia se representa por la constante *cocienteLong*, que representa el valor del cociente entre las longitudes de la curva menor y la de mayor longitud.

< Constantes 9 > + ≡

**#define cocienteLong** (0.8)

22. Cada curva de la primera imagen es comparada con cada curva de la segunda. Cuando los descriptores de ambas son similares consideramos que ha habido correspondencia y la registramos para futuras referencias. Después analizamos el comportamiento general de los desplazamientos de los centroides de las curvas que correspondieron; con ésto obtenemos información útil para resolver ambigüedades. Los descriptores utilizados en la comparación son:

**Longitud.** El cociente de la curva de menor longitud con el de mayor deberá ser mayor de *cocienteLong*.

**Dirección.** La diferencia entre el promedio de las direcciones deberá ser menor de  $\theta_{20}$  grados.

**Desplazamiento del Centroide.** La diferencia entre la coordenada X deberá ser menor de *separaciónImágenes* pixeles.

< Apareamiento entre curvas 22 >≡

```
void matchSingleLine(){
int i,j,index;
int histograma[numHileras],mazimo,minimo;
float Δl, Δx, Δy, Δmedia, m1, m2;
for (i ← 0; i < numHileras; i ← i + 1) histograma[i] ← 0;
i ← 1;
while (i ≤ imagen[0].index){
j ← 1;
m1 ← tan(imagen[0].nodo[i].theta);
while (j ≤ imagen[1].index){
Δl ← (imagen[0].nodo[i].n > imagen[1].nodo[j].n)?
(float)imagen[1].nodo[j].n/(float)imagen[0].nodo[i].n :
(float)imagen[0].nodo[i].n/(float)imagen[1].nodo[j].n;
Δx ← | imagen[0].nodo[i].cx - imagen[1].nodo[j].cx);
Δy ← | imagen[0].nodo[i].cy - imagen[1].nodo[j].cy);
m2 ← tan(imagen[1].nodo[j].theta);
Δmedia ← arctan((m2 - m1)/(1 + m1 × m2));
if (Δmedia < 0.0)
Δmedia ← Δmedia + π;
if (Δmedia > π/2.0) Δmedia ← π - Δmedia;
```

```

    if (( $\Delta x \leq \text{separacionImagenes}$ )  $\wedge$ 
        ( $\Delta l \geq \text{cocienteLong}$ )  $\wedge$  ( $\Delta \text{media} \leq \theta_{20}$ )) {
        if (match.item[i].index < numCurvasAmbiguas) {
            match.item[i].index  $\leftarrow$  match.item[i].index + 1;
            index  $\leftarrow$  match.item[i].index;
            match.item[i].item[index].numCurva  $\leftarrow$  j;
            match.item[i].item[index].descriptor  $\leftarrow$   $\Delta y$ ;
            histograma[(int) $\Delta y$ ]  $\leftarrow$  histograma[(int) $\Delta y$ ] + 1;
        }
        j  $\leftarrow$  j + 1;
    }
    i  $\leftarrow$  i + 1;
}
maximo  $\leftarrow$  0;
for (i  $\leftarrow$  0; i < numHileras; i  $\leftarrow$  i + 1) {
    if (histograma[i] > maximo) {
        maximo  $\leftarrow$  i;
    }
}
for (i  $\leftarrow$  1; i  $\leq$  match.index; i  $\leftarrow$  i + 1) {
    if (match.item[i].index  $\geq$  1) {
        minimo  $\leftarrow$  9999;
        for (j  $\leftarrow$  1; j  $\leq$  match.item[i].index; j  $\leftarrow$  j + 1) {
            if (|(match.item[i].item[j].descriptor - (float)maximo) <
                (float)minimo) {
                minimo  $\leftarrow$ 
                    |(int)match.item[i].item[j].descriptor - maximo |;
                index  $\leftarrow$  j;
            }
        }
        match.item[i].index  $\leftarrow$  1;
        match.item[i].item[1]  $\leftarrow$  match.item[i].item[index];
    }
}
}

```



```

cocienteLong: constante, §21      Aitera: tipo, §13
imagen: variable, §6             match: variable, §15
numCurvasAmbiguas: constante, §11  numHileras: constante, §18
separacion/imagenes: constante, §19  theta: constante, §20

```

23. Los resultados de la correspondencia son almacenados con las estructuras que contienen los descriptores de las curvas. El desplazamiento entre el centroide de las curvas es calculado y registrado; este desplazamiento será útil para el cálculo de la profundidad.

< Apareamiento entre estructuras 23 > ≡

```

void matchCompletoGraph(){
int i, k;
float Δx, Δy;
for (i ← 1; i ≤ match.index; i ← i + 1){
    if (match.item[i].index > 0){
        k ← match.item[i].item[1].numCurva;
        Δx ← | imagen[0].nodo[i].cx - imagen[1].nodo[k].cx;
        Δy ← | imagen[0].nodo[i].cy - imagen[1].nodo[k].cy;
        imagen[0].nodo[i].Δx ← Δx;
        imagen[0].nodo[i].Δy ← Δy;
        imagen[1].nodo[k].Δx ← Δx;
        imagen[1].nodo[k].Δy ← Δy;
        imagen[0].nodo[i].matched ← k;
        imagen[1].nodo[k].matched ← i;
    }
}
}

```

```

imagen: variable, §6  match: variable, §15

```

24. Los valores lógicos de Verdadero y Falso son representados por las constantes *TRUE* y *FALSE* respectivamente.

< Constantes 9 > ≡

```
#define FALSE (0)
#define TRUE (1)
```

25. Las curvas que no han encontrado su correspondiente en el proceso anterior son tratadas. Sobre cada *circuito* son tomadas, en cada caso de ser posible, grupos de curvas a los cuales se les calculan sus descriptores conjuntos. Se buscará la correspondencia entre grupos de las dos imágenes y en caso de que los descriptores sean parecidos, se declarará la correspondencia.

< Apareamiento posterior 25 >≡

```
void postMatching() {
int m,i;
int v[numCurves+1];
for (i ← 1; i ≤ imagen[0].circuitos; i ← i + 1){
m ← 1;
while (m ≤ 3){
if (initVector1(&v[0],m,i) = TRUE) {
subPostMatch(&v[0], restoi, m);
}
m ← m + 1;
}
}
}
```

*imagen* variable, §6    *initVector1* procedimiento, §26    *numCurves* variable, §27  
*resto<sub>i</sub>* variable, §28    *subPostMatch* procedimiento, §29

26. Sobre la primera imagen, se toman las primeras *m* curvas del *circuito* *k*. Este algoritmo tiene una complejidad muy elevada en términos de tiempo de cálculo; para reducirlo tomamos solo las curvas que sobrepasen cierta longitud.

```
int initVector1(v,m,k)
int *v,m,k;
{
```

```

int i, bon;
    resto1 ← 0;
    for (i ← 1; i ≤ imagen[0].index; i ← i + 1){
        if ((imagen[0].nodo[i].circuito = k) ∧
            (imagen[0].nodo[i].matched = 0)){
            if (imagen[0].nodo[i].n ≥ 5){
                resto1 ← resto1 + 1;
                vector1[resto1] ← i;
            }
        }
    }
    if (resto1 ≥ m){
        for (i ← 1; i ≤ resto1; i ← i + 1){
            v[i] ← (i ≤ m)? TRUE : FALSE;
        }
        bon ← TRUE;
    }
    else bon ← FALSE;
    return (bon);
)

```

imagen:variable, §6    resto<sub>1</sub>:variable, §28    vector<sub>1</sub>:variable, §28

27. El número máximo de curvas que se permite por imagen es igual a *numCurves*.

< Constantes 9 > + ≡

#define numCurves (200)

28. Las variables que se presentan en esta sección se utilizan en el proceso de correspondencia de *circuitos*. Las variables *vector<sub>1</sub>* y *vector<sub>2</sub>* tienen *resto<sub>1</sub>* y *resto<sub>2</sub>* valores significativos respectivamente. La variable *resto<sub>1</sub>* y *resto<sub>2</sub>* representan el número de curvas en el *circuito*.

< Variables globales 6 > + ≡

int vector<sub>1</sub>[numCurves + 1], vector<sub>2</sub>[numCurves + 1], resto<sub>1</sub>, resto<sub>2</sub>;

numCurves:constante, §27

29. Un vector de longitud  $n'$  es recibido. Representa las curvas de un *circuito*. La variable  $m$  indica cuantos elementos del *circuito* son utilizados para calcular los descriptores. El número de combinaciones está dado por:

$$\binom{n'}{m} \quad (\text{A.4})$$

**Algoritmo.** Dado un arreglo  $v$  unidimensional de longitud  $n'$ , con elementos 1 en las primeras  $m$  posiciones a la izquierda y el resto 0s, calcular el conjunto  $C$  de combinaciones de  $n'$  tomando  $m$ .

- Si  $n' = m$ , entonces tenemos un elemento de  $C$ .
- Si  $m = 1$ , entonces tenemos un elemento de  $C$  y tendremos  $n' - 1$  corriendo un elemento del vector hacia la derecha.
- El conjunto  $C$  se forma con los resultados de aplicar el algoritmo con los últimos  $n' - 1$  elementos y con los primeros  $n' - 1$  elementos.

```

void subPostMatch(v, n', m)
int *v, m, n';
{
int i, a[numCurves+1];
for (i ← 1; i ≤ restoI; i ← i + 1) a[i] ← v[i];
ordenar(&a[0], restoI, n', m);
if (n' = m) {
    postMatching1(&a[0]);
}
else {
    if (m=1) {
        i ← 1;
        while (i ≤ n') {
            postMatching1(&a[0]);
            shift(&a[0], restoI, n' - i);
            i ← i + 1;
        }
    }
    else {
        subPostMatch(&a[0], n' - 1, m - 1);
    }
}

```

```

        subPostMatch(&a[0], n' - 1, m);
    }
}

```

*numCurves*: constante, §27      *ordenar*: procedimiento, §34  
*postMatching1*: procedimiento, §30      *resto<sub>2</sub>*: variable, §28  
*shift*: procedimiento, §33      *subPostMatch*: procedimiento, §29

30. Sobre las curvas que no ha encontrado correspondencia en el proceso anterior son tratadas. Sobre cada *circuito* son tomadas, en cada caso de ser posible, grupos de curvas a los cuales se les calculan sus descriptores conjuntos. Se buscará la correspondencia entre grupos de las dos imágenes y en caso de que los descriptores sean parecidos, se declarará la correspondencia.

```

void postMatching1(w)
int *w;
{
int m, i;
int v[numCurves+1];
for (i ← 1; i ≤ imagen[1].circuitos; i ← i + 1){
    m ← 1;
    while (m ≤ 3){
        if (initVector2(&v[0], m, i) = TRUE) {
            subPostMatch1(w, &v[0], resto2, m);
        }
        m ← m + 1;
    }
}
}

```

*imagen*: variable, §6      *initVector2*: procedimiento, §31      *numCurves*: variable, §27  
*resto<sub>2</sub>*: variable, §28      *subPostMatch1*: procedimiento, §32

31. Sobre la segunda imagen, se toman las primeras  $m$  curvas del *circuito*  $k$ . Este algoritmo tiene una complejidad muy elevada en términos

de tiempo de cálculo; para reducirla tomamos solo las curvas que sobrepasen cierta longitud.

```

int initVector2(v,m,k)
int *v,m,k;
{
int i,bon;
resto2 ← 0;
for (i ← 1; i ≤ imagen[1].index; i ← i + 1){
if ((imagen[1].nodo[i].circuito = k) ∧
(imagen[1].nodo[i].matched = 0)){
if (imagen[1].nodo[i].n ≥ 5){
resto2 ← resto2 + 1;
vector2[resto2] ← i;
}
}
}
if (resto2 ≥ m){
for (i ← 1; i ≤ resto2; i ← i + 1){
v[i] ← (i ≤ m)? TRUE : FALSE;
}
bon ← TRUE;
}
else bon ← FALSE;
return (bon);
}

```

imagen:variable, §6    resto<sub>2</sub>:variable, §28    vector<sub>2</sub>:variable, §28

32. Un vector de longitud  $n'$  es recibido. Representa las curvas de un *circuito*. La variable  $m$  indica cuantos elementos del *circuito* son utilizados para calcular los descriptores. El número de combinaciones está dado por:

$$\binom{n'}{m} \quad (\text{A.5})$$

**Algoritmo.** Dado un arreglo  $v$  unidimensional de longitud  $n'$ , con elementos 1 en las primeras  $m$  posiciones a la izquierda y el resto 0s, calcular el conjunto  $C$  de combinaciones de  $n'$  tomando  $m$ .

- Si  $n' = m$ , entonces tenemos un elemento de  $C$ .
- Si  $m = 1$ , entonces tenemos un elemento de  $C$  y tendremos  $n' - 1$  corriendo un elemento del vector hacia la derecha.
- El conjunto  $C$  se forma con los resultados de aplicar el algoritmo con los últimos  $n' - 1$  elementos y con los primeros  $n' - 1$  elementos.

```

void subPostMatch1(w, v, n', m)
int *w, *v, n', m;
{
int i, a[numCurves+1];
for (i ← 1; i ≤ resto2; i ← i + 1) a[i] ← v[i];
ordenar(&a[0], resto2, n', m);
if (n' = m) {
    try(w, &a[0]);
}
else {
    if (m=1) {
        i ← 1;
        while (i ≤ n') {
            try(w, &a[0]);
            shift(&a[0], resto2, n' - i);
            i ← i + 1;
        }
    }
    else {
        subPostMatch1(w, &a[0], n' - 1, m - 1);
        subPostMatch1(w, &a[0], n' - 1, m);
    }
}
}

```

numCurvas: constante, §27	ordenar: procedimiento, §34
reatog: variable, §28	shift: procedimiento, §33
subPostMatch1: procedimiento, §32	try: procedimiento, §36

33. Este procedimiento realiza un corrimiento hacia la derecha, del 1 más a la derecha, en el vector que indica las curvas presentes en correspondencia en el conjunto.

```
void shift(v, n, l)
int *v, n, l;
{
    v[n - l] ← FALSE;
    v[n - l + 1] ← TRUE;
}
```

FALSE: constante, §24    TRUE: constante, §24

34. Este procedimiento se asegura que un vector  $v$  de longitud  $n$  tenga  $m$  unos en sus primeras  $n'$  posiciones.

```
void ordenar(v, n, n', m)
int *v, n, n', m;
{
    int i, k;
    k ← 0;
    for (i ← 1; i ≤ n'; i ← i + 1){
        if (v[n - i + 1] = TRUE) {
            k ← k + 1;
        }
        if (k ≠ m){
            for (i ← 1; i ≤ m; i ← i + 1){
                v[n - n' + i] ← TRUE;
            }
            v[n - n'] ← FALSE;
        }
    }
}
```



*FALSE*:constante, §24    *TRUE*:constante, §24

35. La variable *numeroGrupo* nos sirve de consecutivo para expresar cual es el siguiente grupo de curvas, en el proceso de correspondencia de conjunto de curvas, que se forma.

< Variables globales 6 > + ≡

int *numeroGrupo*;

36. Los valores descriptivos de dos grupos de curvas son calculados; si están arriba de cierto umbral se determina si son mejores que los obtenidos previamente para las curvas que integran el grupo. De ser así la correspondencia se acepta.

Los descriptores utilizados en la comparación son:

**Longitud.** El cociente de la curva de menor longitud con el de mayor deberá ser mayor de *cocienteLong*.

**Direccion.** La diferencia entre el promedio de las direcciones deberá ser menor a  $\theta_{20}$  grados.

**Desplazamiento del Centroide.** La diferencia entre la coordenada *X* deberá ser menor de *separacion/magenes* pixeles.

```
void try(w,v)
int *w,*v;
{
int i, znum1, znum2, n, good, k, match1, match2, grupo;
float ztheta1, zcentr1, ycentr1, m1, m2,
      ztheta2, zcentr2, ycentr2,
       $\Delta l$ ,  $\Delta x$ ,  $\Delta y$ ,  $\Delta theta$ ;
ztheta1 ← 0.0; zcentr1 ← 0.0; ycentr1 ← 0.0; znum1 ← 0;
for (k ← 1; k ≤ resto1; k ← k + 1){
  if (w[k] = TRUE) {
    i ← vector1[k];
    n ← znum1;
    znum1 + ← imagen[0].nodo[i].n;
    ztheta1 ← (ztheta1 × n + imagen[0].nodo[i].theta ×
              imagen[0].nodo[i].n)/znum1;
```

```

    zcentr1 ← (imagen[0].nodo[i].cx × imagen[0].nodo[i].n + zcentr, ×
    n)/znum1;
    ycentr1 ← (imagen[0].nodo[i].cy × imagen[0].nodo[i].n + ycentr, ×
    n)/znum1;
  }
}
ztheta2 ← 0.0; zcentr2 ← 0.0; ycentr2 ← 0.0; znum2 ← 0;
for (k ← 1; k ≤ resto2; k ← k + 1){
  if (v[k]=TRUE){
    i ← vector2[k];
    n ← znum2;
    znum2 + ← imagen[1].nodo[i].n;
    ztheta2 ← (ztheta2 × n + imagen[1].nodo[i].theta ×
    imagen[1].nodo[i].n)/znum2;
    zcentr2 ← (imagen[1].nodo[i].cx × imagen[1].nodo[i].n + zcentr2 ×
    n)/znum2;
    ycentr2 ← (imagen[1].nodo[i].cy × imagen[1].nodo[i].n + ycentr2 ×
    n)/znum2;
  }
}
Δx ← | zcentr1 - zcentr2 |
m1 ← ztheta1; m2 ← ztheta2
Δtheta ← arctan((m2 - m1)/(1 + m1 × m2))
if (Δtheta < 0.0) Δtheta + ← π
if (Δtheta > π/2.0) Δtheta ← π - Δtheta
Δl ← (znum1 > znum2)?(float)znum2/(float)znum1 :
(float)znum1/(float)znum2
if ((Δx ≤ 30.0) ∧ (Δtheta ≤ θ2c) ∧
(Δl ≥ cocienteLong)){
  k ← 1; good ← TRUE;
  while ((k ≤ resto1) ∧ (good = TRUE)){
    if (w[k] = TRUE){
      i ← vector1[k];
      match1 ← i;
      if (imagen[0].nodo[i].error > znum1) good ← FALSE;
    }
  }
}

```

```

    k ← k + 1;
  }
  k ← 1;
  while ((k ≤ resto2) ∧ (good = TRUE)){
    if (v[k]=TRUE) {
      i ← vector2[k];
      match2 ← i;
      if (imagen[1].nodo[i].error > znum2)good ← FALSE;
    }
    k ← k + 1;
  }
  if (good=TRUE) {
    Δy ← |ycentr1 - ycentr2 |;
    grupo ← imagen[0].nodo[match1].group;
    for (k ← 1; k ≤ imagen[0].index; k ← k + 1){
      if (imagen[0].nodo[k].group = grupo){
        imagen[0].nodo[k].group ← 0;
      }
    }
    for (k ← 1; k ≤ imagen[1].index; k ← k + 1){
      if (imagen[1].nodo[k].group=grupo){
        imagen[1].nodo[k].group ← 0;
      }
    }
    k ← 1;
    while (k ≤ resto1){
      if (w[k]=TRUE) {
        i ← vector1[k];
        imagen[0].nodo[i].error ← znum1;
        imagen[0].nodo[i].group ← numeroGrupo;
        imagen[0].nodo[i].Δx ← Δx;
        imagen[0].nodo[i].Δy ← Δy;
      }
      k ← k + 1;
    }
  }
  k ← 1;

```

```

while (k ≤ resto2){
  if (v[k]=TRUE) {
    i ← vector2[k];
    imagen[1].nodo[i].error ← xnum2;
    imagen[1].nodo[i].group ← numeroGrupo;
    imagen[1].nodo[i].Δx ← Δx;
    imagen[1].nodo[i].Δy ← Δy;
  }
  k ← k + 1;
}
numeroGrupo ← numeroGrupo + 1;
}
}
}

```

coeficienteLong constante, §21	imagen: variable, §6
numeroGrupo:constante, §35	φ:constante, 3 141592...
resto <sub>2</sub> :variable, §28	resto <sub>2</sub> :variable, §28
separacion/imagen:constante, §19	θ <sub>20</sub> :constante, §20
TRUE:constante, §24	vector <sub>2</sub> :variable, §28
vector <sub>2</sub> :variable, §28	

37. Este parámetro es tomado de las especificaciones de operacion de la lente que utilizamos para tomar las imágenes.

< Constantes 9 > + ≡

#define distanciaFocal (50)

38. En caso de existir calibración correspondera a la ecuación:

$$z = \frac{f \times d}{\Delta y} \quad (\text{A.6})$$

Donde  $f$  es la distancia focal,  $d$  representa la separación entre las imágenes al momento de tomar las fotos y  $\Delta y$  representa el desplazamiento de los puntos en su coordenada Y.

< Cálculo de profundidad 38 > ≡

```

void calculeDepth() {
int i;
  for (i ← 1; i ≤ imagen[0].index; i ← i + 1){
    imagen[0].nodo[i].cz ←
      (distanciaFocal × separacionImágenes)/(imagen[0].nodo[i].Δy);
  }
}

```

*distanciaFocal*: constante, §37

*imagen*: variable, §6

*separacionImágenes*: constante, §19

39. Los resultados del proceso de correspondencia son almacenados en un archivo. Los resultados muestran: la curva de referencia, su correspondencia, y en caso de existir calibración, la profundidad del centroide. También se incluyen los resultados cuando se han tomado grupos de curvas; en este caso, la profundidad corresponde al centroide formado por el conjunto de descriptores.

La profundidad de los puntos de la curva puede ser igualmente extraída; pero solo teníamos a nuestro alcance el número que corresponde a la coordenada de profundidad lo cual no clarificaría los resultados.

< Resultados 39 >≡

```

void saveInformation()
{
int i, grupo, limite;
  f ← fopen("output1", "w");
  fprintf(f, " I M A G E N ");
  for (i ← 1; i ≤ imagen[0].index; i ← i + 1){
    if ((imagen[0].nodo[i].matched ≠ 0) ∧
        (imagen[0].nodo[i].group = 0)){
      fprintf(f, "curva : %d ∨ match : %d ∨ grupo : %d ∨ z : %f n",
              i, imagen[0].nodo[i].matched, imagen[0].nodo[i].group,
              imagen[0].nodo[i].cz);
    }
  }
  limite ← 0;
}

```

```

for (i ← 1; i ≤ imagen[0].index; i ← i + 1){
  grupo ← imagen[0].nodo[i].group;
  if ((imagen[0].nodo[i].matched ≠ 0) ∧
      (grupo > limite)){
    fprintf(f, " grupo:");
    for (j ← 1; j ≤ imagen[0].index; j ← j + 1){
      if ((imagen[0].nodo[j].matched ≠ 0) ∧
          (imagen[0].nodo[j].group = grupo)){
        fprintf(f, "%d ", j);
      }
    }
    for (j ← 1; j ≤ imagen[1].index; j ← j + 1){
      if ((imagen[1].nodo[j].matched ≠ 0) ∧
          (imagen[1].nodo[j].group = grupo)){
        fprintf(f, "%d ", j);
      }
    }
    fprintf(f, " %f ", imagen[0].nodo[i].cz);
    limite ← grupo;
  }
}
fclose (f);
}

```

imagen.variable, §6

40. Las curvas son recuperadas de un archivo heredado por el proceso de seguimiento de contornos. una vez recuperada esa información se procede a construir las relaciones estructurales entre las curvas de las imágenes.

La correspondencia tiene una etapa en donde se pretende involucrar cada curva de la primera imagen con cada una de las curvas de la segunda imagen. Las ambigüedades son resueltas en base a la tendencia de las curvas candidatas a corresponder.

Para las curvas que no encontraron correspondencia se propone un algoritmo en el que, basándonos en características estructurales de los

objetos en las imágenes, se calculan descriptores para conjuntos de curvas; estos descriptores son sometidos a un proceso de correspondencia donde los mejores pares son los que sobreviven.

Por último, si existe un proceso de calibración la profundidad del centroide es calculada.

< Rutina Principal 40 >≡

```
main() {
    numerogrupo ← 1;
    loadInformation();
    createStructure(&imagen[0]);
    createStructure(&imagen[1]);
    initMatchStructure();
    matchSingleLine();
    matchCompleGraph();
    postMatching();
    calculeDepth();
    saveInformation();
}
```

calculeDepth: procedimiento, §38

matchCompleGraph: procedimiento, §23

imagen: variable, §6

numeroGrupos: variable, §35

saveInformation: procedimiento, §39

createStructure: procedimiento, §8

matchSingleLine: procedimiento, §22

initMatchStructure: procedimiento, §17

postMatching: procedimiento, §25

# Lista de Figuras

1.1	Transformación de perspectiva. . . . .	4
1.2	Geometría estereo. . . . .	6
1.3	Geometría simplificada. . . . .	8
1.4	Geometría estereo simplificada. . . . .	9
1.5	Detección de cambios en una imagen unidimensional. . . . .	10
1.6	Factores espaciales y direccionales en la aplicación de la segunda derivada. . . . .	12
1.7	Restricción de continuidad. . . . .	15
2.1	Diagrama a bloques del modelo propuesto. . . . .	18
2.2	Cálculo del filtro gradiente. . . . .	20
2.3	Vecinos del punto $P_1$ en una ventana de $3 \times 3$ . . . . .	21
2.4	Aproximación de un objeto por segmentos de rectas. . . . .	24
2.5	Ejemplo de una ventana. . . . .	26
2.6	Representación de una estructura relacional por un grafo . . . . .	29
2.7	Proximidad mediata e inmediata. . . . .	31
3.1	Imágenes originales de la tasa. . . . .	34
3.2	Imágenes gradiente de la tasa. . . . .	34
3.3	Adelgazamiento de líneas de la tasa. . . . .	35
3.4	Extracción de contornos de la tasa. . . . .	35
3.5	Etiquetación de las curvas extraídas a las imágenes de la tasa. . . . .	36
3.6	Imágenes originales de las raquetas. . . . .	38
3.7	Imágenes gradiente de las raquetas. . . . .	39
3.8	Adelgazamiento de líneas a las imágenes de las raquetas. . . . .	40
3.9	Extracción de contornos a las imágenes de las raquetas. . . . .	41



3.10 Etiketación de las curvas extraídas a las imágenes de las raquetas. . . . .	42
3.11 Imágenes originales del laboratorio. . . . .	45
3.12 Imágenes gradiente del laboratorio (1). . . . .	46
3.13 Adelgazamiento de líneas a las imágenes del laboratorio. . . . .	47
3.14 Extracción de contornos a las imágenes del laboratorio. . . . .	48
3.15 Etiketación de las curvas extraídas de las imágenes del laboratorio. . . . .	49

## Lista de Tablas

3.1	Descriptores de los segmentos de curva extraídos de la tasa. . . . .	37
3.2	Resultados del apareamiento de las curvas en las imágenes de la tasa. Primera etapa. . . . .	37
3.3	Resultados del apareamiento de las curvas en las imágenes de la tasa. Segunda etapa. . . . .	37
3.4	Descriptores de los segmentos de curva extraídos de las raquetas. . . . .	43
3.5	Resultados de la correspondencia en las raquetas. Primera etapa. . . . .	44
3.6	Resultados de la correspondencia en las raquetas. Segunda etapa. . . . .	44
3.7	Descriptores de los segmentos de curva extraídos del laboratorio. . . . .	50
3.8	Resultados de la correspondencia en el laboratorio. Primera etapa. . . . .	52

# Bibliografía

- [1] Gerard MEDIONI and Ramakant NEVATIA. *Segment Based Stereo Matching*. Computer Vision, Graphics, and Image Processing. **31.2** - 18 (1985).
- [2] Robert F. CHURCHHOUSE. *Numerical Methods Vol.III* John Wiley & Sons. (1981).
- [3] William Eric Leifur GRIMSON. *From Images To Surfaces*. The MIT Press. (1981).
- [4] Nasser M. NASRABADI, Sandra P. CLIFFORD, Yi LIU. *Integration of stereo vision and optical flow by using an energy-minimization approach*. J. Opt. Soc. Am. **6**. No 6. 900-907. (1989).
- [5] Ellen C. HILDRETH. *Computations Underlying the Measurement of Visual Motion*. Artificial Intelligence. **23** 309-354. (1984).
- [6] S.A. LLOYD. *Stereo matching using intra- and inter- row dynamic programming*. Pattern Recognition Letters. **4** 273-277 (1986).
- [7] Nasser M. NASRABADI y Yi LIU. *Stereo vision correspondence using a multichannel graph matching technique*. Image and Vision Computing. **7**, No 4. 237-245 (1989).
- [8] Gerard MEDIONI y Ramakant NEVATIA. *Segment-Based Stereo Matching*. Computer Vision, Graphics, and Image Processing. **31**. 2-18. (1985).
- [9] DUDA y HART. *Pattern Classification and Scene Analysis*. John Wiley & Sons, Inc. (1973).


- [10] Juan Humberto SOSSA. *An improved parallel algorithm for thinning digital patterns*. Pattern Recognition Letters. **10**. 77-80. (1989).
- [11] John CANNY. *A Computational Approach to Edge Detection*. IEEE Transactions on Pattern Analysis and Machine Intelligence. **8**, No. **6**. 679-698. (1986).
- [12] Donald E. KNUTH. *TEX: The program*. Addison Wesley publishing company, 1986.

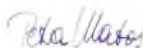
EL JURADO DESIGNADO POR LA SECCION DE COMPUTACION DEL DEPARTAMENTO DE INGENIERIA ELECTRICA, APROBO LA TESIS: "Una Solución al Problema de - la Correspondencia en un Par Estéreo Utilizando Descriptores de Curvas".

EL DIA 16 DEL MES agosto DEL AÑO 1991.

DESARROLLADO POR EL: Ing. Joaquín Salas Rodríguez

OBTENIENDO EL GRADO DE: Maestro en Ciencias en Ingeniería Eléctrica/ Sección de Computación.

  
Sergio Vicente Chapa Vergara  
Profesor Investigador Aux. de  
Ingeniería Eléctrica/Computación.



Petra Wiederhold Grauert De Matos  
Profra. Auxiliar Nivel 1-A,  
de Control Automático.



José Luis Gordillo Moscoso  
Prof. Investigador del Centro  
de Inteligencia Artificial del  
ITESM, CAMPUS Monterrey.

CENTRO DE INVESTIGACION Y DE ESTUDIOS AVANZADOS DEL  
INSTITUTO POLITÉCNICO NACIONAL

**BIBLIOTECA DE INGENIERIA ELECTRICA**  
FECHA DE DEVOLUCION

*El lector está obligado a devolver este libro  
antes del vencimiento de préstamo establecido  
por el último sello.*

26 ABR. 1995

-5 FEB. 1998

DEVOLUCION



